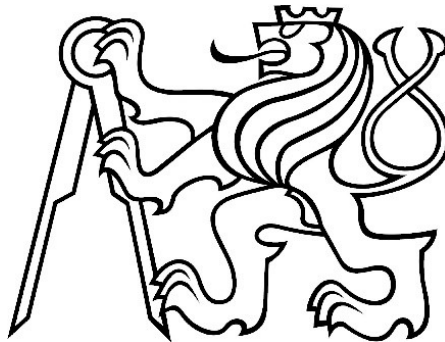


**ČESKÉ VYSOKÉ UČENÍ TECHNICKÉ V PRAZE**

**FAKULTA STAVEBNÍ**

**KATEDRA OCELOVÝCH A DŘEVĚNÝCH KONSTRUKCÍ**



**BAKALÁŘSKÁ PRÁCE**

**A) STATICKÝ VÝPOČET**

2019

Tomáš Pohanka

## OBSAH:

1.	ÚVOD .....	10
1.1.	Cíle práce.....	10
1.2.	Informace o konstrukci .....	10
1.2.1.	Geometrie konstrukce .....	10
1.2.2.	Popis konstrukce .....	10
1.2.3.	Doprava a skladování materiálu .....	11
2.	ZATÍŽENÍ.....	12
2.1.	Zatížení stálá.....	12
2.1.1.	Vlastní tíha .....	12
2.1.2.	Ostatní stálá zatížení.....	12
2.2.	Proměnná zatížení.....	14
2.2.1.	Zatížení sněhem .....	14
2.2.2.	Zatížení větrem .....	15
2.2.3.	Užitné zatížení.....	21
2.3.	Zatěžovací stavy a kombinace.....	22
2.3.1.	Zatěžovací stavy.....	22
2.3.2.	Kombinace zatížení .....	22
2.3.3.	Statické schéma a ZS.....	23
2.3.4.	Vnitřní síly na konstrukci.....	25
3.	NÁVRH A POSOUZENÍ NOSNÝCH PRVKŮ .....	26
3.1.	Vaznice .....	26
3.1.1.	Materiálové charakteristiky .....	26
3.1.2.	Návrhové pevnosti materiálu .....	26
3.1.3.	Průřezové charakteristiky, geometrická data.....	27
3.1.4.	Zatížení prvku, vnitřní síly a deformace.....	27
3.1.5.	Posouzení mezního stavu únosnosti.....	30
3.1.6.	Posouzení mezního stavu použitelnosti .....	31
3.2.	Sloup.....	33
3.2.1.	Materiálové charakteristiky .....	33
3.2.2.	Návrhové pevnosti materiálu .....	33

3.2.3.	Průřezové charakteristiky, geometrická data.....	34
3.2.4.	Zatížení prvku, vnitřní síly a deformace.....	34
3.2.5.	Posouzení mezního stavu únosnosti.....	35
3.2.6.	Posouzení mezního stavu použitelnosti .....	37
3.3.	Vazník .....	38
3.3.1.	Materiálové charakteristiky .....	38
3.3.2.	Návrhové pevnosti materiálu .....	38
3.3.3.	Průřezové charakteristiky, geometrická data.....	39
3.3.4.	Zatížení prvku, vnitřní síly a deformace.....	39
3.3.5.	Posouzení mezního stavu únosnosti.....	40
3.3.6.	Posouzení mezního stavu použitelnosti .....	44
3.4.	Vzpěry – vzpínadlo .....	45
3.4.1.	Materiálové charakteristiky .....	45
3.4.2.	Návrhové pevnosti materiálu .....	45
3.4.3.	Průřezové charakteristiky, geometrická data.....	46
3.4.4.	Zatížení prvku, vnitřní síly a deformace.....	46
3.4.5.	Posouzení mezního stavu únosnosti.....	47
3.4.6.	Posouzení mezního stavu použitelnosti .....	48
3.5.	Rozpěra mezi středovými sloupy .....	49
3.5.1.	Materiálové charakteristiky .....	49
3.5.2.	Návrhové pevnosti materiálu .....	49
3.5.3.	Průřezové charakteristiky, geometrická data.....	50
3.5.4.	Zatížení prvku, vnitřní síly a deformace.....	50
3.5.5.	Posouzení mezního stavu únosnosti.....	51
3.5.6.	Posouzení mezního stavu použitelnosti .....	54
3.6.	Středové vzpěry.....	55
3.6.1.	Materiálové charakteristiky .....	55
3.6.2.	Návrhové pevnosti materiálu .....	55
3.6.3.	Průřezové charakteristiky, geometrická data.....	56
3.6.4.	Zatížení prvku, vnitřní síly a deformace.....	56
3.6.5.	Posouzení mezního stavu únosnosti.....	57
3.6.6.	Posouzení mezního stavu použitelnosti .....	59

3.7.	Ocelové táhlo .....	60
3.7.1.	Materiálové charakteristiky .....	60
3.7.2.	Návrhové pevnosti materiálu .....	60
3.7.3.	Průřezové charakteristiky, geometrická data .....	60
3.7.4.	Zatížení prvku, vnitřní síly a deformace .....	60
3.7.5.	Posouzení mezního stavu únosnosti .....	61
3.7.6.	Posouzení mezního stavu použitelnosti .....	61
3.8.	Štítové sloupky .....	62
3.8.1.	Materiálové charakteristiky .....	62
3.8.2.	Návrhové pevnosti .....	62
3.8.3.	Průřezové charakteristiky, geometrická data .....	63
3.8.4.	Zatížení prvku, vnitřní síly a deformace .....	63
3.8.5.	Posouzení mezního stavu únosnosti .....	64
3.8.6.	Posouzení mezního stavu použitelnosti .....	67
4.	ZTUŽENÍ .....	68
4.1.	Střešní ztužení .....	69
4.1.1.	Schéma ztužení, zatížení a vnitřní síly .....	69
4.1.2.	Posouzení mezního stavu únosnosti .....	71
4.1.3.	Posouzení mezního stavu použitelnosti .....	74
4.2.	Stěnové ztužení .....	75
4.2.1.	Schéma ztužení, zatížení a vnitřní síly .....	75
4.2.2.	Posouzení mezního stavu únosnosti .....	75
4.2.3.	Posouzení mezního stavu použitelnosti .....	75
5.	SPOJE KONSTRUKČNÍCH PRVKŮ .....	76
5.1.	Spoj středové vzpěry se sloupkem .....	77
5.1.1.	Posouzení únosnosti spoje .....	77
5.2.	Spoj vzpěrky vzpínadla s vazníkem .....	79
5.2.1.	Vstupní údaje, materiálové char. ....	79
5.2.2.	Posouzení únosnosti spoje .....	79
5.3.	Spoj táhla a horního pásu .....	84
5.3.1.	Posouzení únosnosti spoje .....	84

5.4.	Spoj horního pásu – vnitřní kloub .....	87
5.4.1.	Posouzení čepového spoje .....	88
5.5.	Spoj vaznice a horního pásu .....	89
5.6.	Spoj vazníku a sloupu .....	89
5.6.1.	Posouzení únosnosti spoje .....	90
6.	Přehled navržených prvků .....	91
7.	Zdroje .....	92
7.1.	Normy .....	92
7.2.	Literatura .....	92
7.3.	Katalogové listy .....	92
7.4.	Použitý software .....	93

## SEZNAM OBRÁZKŮ:

Obrázek 1: Schéma geomterie konstrukce.....	10
Obrázek 2: Schéma dopravního prostředku.....	11
Obrázek 3: Skladba střešního pláště.....	12
Obrázek 4: Schéma obvodové stěny.....	13
Obrázek 5: Schéma zatížení sněhem .....	14
Obrázek 6: Sněhová mapa .....	14
Obrázek 7: Větrná mapa .....	15
Obrázek 8: Schéma zatížení větrem na stěny.....	17
Obrázek 9: Schéma zatížení střechy příčným větrem.....	18
Obrázek 10: Schéma zatížení střechy podélným větrem .....	19
Obrázek 11: Schéma nejnamáhanější vazby.....	20
Obrázek 12: Schéma rozmístění užitého zatížení.....	21
Obrázek 13: Otláčení, rozpěra - sloup .....	53
Obrázek 14: Schéma čelní stěny .....	68
Obrázek 15: Schéma střechy.....	68
Obrázek 16: Schéma zatížení ztužidel.....	70
Obrázek 17: Schéma početně řešených spojů.....	76
Obrázek 18: Uspořádání svorníků.....	76
Obrázek 19: Schéma spoje, středová vzpěra - sloupek .....	77
Obrázek 20: Schéma spoje vzpěrka - vazník .....	79
Obrázek 21: Výsledný spoj, vzpěrka – horní pás .....	83
Obrázek 22: Schéma spoje, táhlo – horní pás .....	84
Obrázek 23: Otláčení, táhlo – horní pás .....	84
Obrázek 24: Schéma čepového plechu.....	87
Obrázek 25: Schéma spoje vaznice - horní pás + trámová botka.....	89
Obrázek 26: Schéma spoje vazník - sloup.....	89
Obrázek 27: Otláčení sloup - vazník.....	90

## SEZNAM TABULEK:

Tabulka 1: Zatížení střešním pláštěm .....	12
Tabulka 2: Zatížení střešním pláštěm .....	13
Tabulka 3: Tabulka tvarového součinitele .....	14
Tabulka 4: Hodnoty součinitelů pro oblasti stěn .....	17
Tabulka 5: Hodnoty součinitelů pro oblast střechy.....	19
Tabulka 6: Souhrn zatížení větrem .....	21
Tabulka 7: Zatížení vaznice .....	27
Tabulka 8: Posouzení únosnosti vzpěrek.....	48
Tabulka 9: Odstupové vzdálenosti svorníků .....	76
Tabulka 10: Přehled konstrukčních prvků .....	91
Tabulka 11: Přehled spojů .....	91

SEZNAM ZKRATEK A SYMBOLŮ:

$A$	-	plocha
$A_{eff}$	-	efektivní plocha
$A_s$	-	plocha jádra šroubu
$E_{0,g,05}$	-	hodnota 5% kvantilu modulu pružnosti
$E_{0,g,mean}$	-	průměrná hodnota modulu pružnosti
$F_{a,x,Rk,i}$	-	charakteristická únosnost na vytažení spojovacího prostředku
$F_{max}$	-	maximální síla
$F_{Ed}$	-	maximální síla
$F_{v,Rk}$	-	charakteristická únosnost jednoho prvku pro jeden stříh
$F_{v,Rd}$	-	návrhová únosnost čepu pro dvě stříhové roviny
$G_{k,j}$	-	zatížení stálé
$I_y$	-	moment setrvačnosti k ose y
$I_z$	-	moment setrvačnosti k ose z
$L_{cr,y}$	-	vzpěrná délka ve směru y
$L_{cr,z}$	-	vzpěrná délka ve směru z
$M_{Rd}$	-	maximální ohybový moment únosnosti
$M_y$	-	ohybový moment k ose y
$M_{y,Ed}$	-	návrhový ohybový moment k ose y
$M_{y,Rk}$	-	charakteristický plastický moment únosnosti spojovacího prostředku
$M_z$	-	ohybový moment k ose z
$M_{z,Ed}$	-	návrhový ohybový moment k ose z
$N_{Ed,c}$	-	návrhová normálová tlaková síla
$N_{Ed,t}$	-	návrhová normálová tahová síla
$N_{max}$	-	maximální návrhová normálová síla
$Q_{k,i}$	-	zatížení proměnné
$V_z$	-	posouvající síla k ose z
$V_{Ed}$	-	návrhová posouvající síla
$W_{el}$	-	elastický průřezový modul
$W_y$	-	průřezový modul k ose y
$W_z$	-	průřezový modul k ose z
$a_i$	-	vzdálenost svorníků (dle tabulky)
$b$	-	šířka
$b_{eff}$	-	efektivní šířka
$c_0(z)$	-	součinitel orografie
$c_{dir}$	-	součinitel směru větru
$c_e$	-	součinitel expozice
$c_{pe,1}$	-	součinitel tlaků větru
$c_{pe,10}$	-	součinitel tlaků větru
$c_{season}$	-	součinitel ročního období
$c_t$	-	součinitel teploty
$c_r(z)$	-	součinitel drsnosti terénu
$d$	-	průměr



$d_o$	-	průměr otvoru
$f_{c,0,g,d}$	-	návrhová pevnost v tlaku rovnoběžně s vlákny
$f_{c,0,g,k}$	-	charakteristická pevnost v tlaku rovnoběžně s vlákny
$f_{c,90,g,d}$	-	návrhová pevnost v tlaku kolmo k vláknům
$f_{c,90,g,k}$	-	charakteristická pevnost v tlaku kolmo k vláknům
$f_{h,0,k}$	-	charakteristická pevnost v otláčení v dřev. prvku
$f_{h,1,k}$	-	charakteristická pevnost v otláčení v dřev. prvku zohledňující úhel
$f_{m,d,red}$	-	redukováná návrhová pevnost v ohybu
$f_{m,g,d}$	-	návrhová pevnost v ohybu
$f_{m,g,k}$	-	charakteristická pevnost v ohybu
$f_{t,0,g,d}$	-	návrhová pevnost v tahu rovnoběžně k vláknům
$f_{t,0,g,k}$	-	charakteristická pevnost v tahu rovnoběžně k vláknům
$f_{t,90,g,d}$	-	návrhová pevnost v tahu kolmo k vláknům
$f_{t,90,g,k}$	-	charakteristická pevnost v tahu kolmo k vláknům
$f_u$	-	pevnost oceli v tahu
$f_{ub}$	-	pevnosti tahu pro šroubové spoje
$f_{v,g,d}$	-	návrhová pevnost ve smyku
$f_{v,g,k}$	-	charakteristická pevnost ve smyku
$f_y$	-	mez kluzu oceli
$f_{yb}$	-	mez kluzu oceli pro šroubové spoje
$g_k$	-	charakteristické stálé zatížení
$i_y$	-	poloměr setrvačnosti k ose y
$i_z$	-	poloměr setrvačnosti k ose z
$k_1$	-	součinitel turbulence
$k_{90}$	-	součinitel pro výpočet charakteristické pevnosti v otláčení
$k_{cr}$	-	součinitel zohledňující výsušné trhliny
$k_{crit}$	-	součinitel klopení
$k_{f3}$	-	modifikační součinitel
$k_l$	-	součinitel pro výpočet stabilizačního zatížení
$k_m$	-	tvarový součinitel
$k_{mod}$	-	modifikační součinitel zohledňující vliv trvání zatížení a vlhkosti
$k_r$	-	součinitel terénu
$k_{c,y}$	-	součinitel vzpěrnosti ve směru y
$k_{c,z}$	-	součinitel vzpěrnosti ve směru z
$k_y$	-	součinitel vzpěrnosti ve směru y
$k_z$	-	součinitel vzpěrnosti ve směru z
$l$	-	délka
$l_{eff}$	-	efektivní délka
$l_v$	-	vliv turbulencí
$n$	-	počet
$n_{ef}$	-	účinný počet svorníků
$q$	-	stabilizační zatížení





$q_k$	-	charakteristické proměnné zatížení
$q_p(z)$	-	maximální dynamický tlak
$S_i$	-	síla od zatížení sněhem
$S_k$	-	charakteristická hodnota zatížení sněhem
$U_{i,inst}$	-	okamžitý průhyb
$U_{inst,lim}$	-	limitní okamžitý průhyb
$U_y$	-	průhyb k ose y
$U_{y,g,inst}$	-	průhyb od stálého zatížení v ose y
$U_{y,s,inst}$	-	průhyb od zatížení sněhem v ose y
$U_{y,Q,inst}$	-	průhyb od užitečného zatížení v ose y
$U_{y,w,inst}$	-	průhyb od zatížení větrem v ose y
$U_z$	-	průhyb k ose z
$U_{z,g,inst}$	-	průhyb od stálého zatížení v ose z
$U_{z,s,inst}$	-	průhyb od zatížení sněhem v ose z
$U_{z,Q,inst}$	-	průhyb od užitečného zatížení v ose z
$U_{z,w,inst}$	-	průhyb od zatížení větrem v ose z
$v_{b,0}$	-	rychlost větru dle mapy větrných oblastí
$v_b$	-	výchozí základní rychlost větru
$v_m(z)$	-	charakteristická střední rychlost větru
$w_{e,i}$	-	zatížení větrem
$z$	-	výška objektu
$z_0$	-	parametr drsnosti terénu (dle kat. terénu)
$z_{0,II}$	-	parametr drsnosti terénu (kat. II)
$z_{min}$	-	minimální výška (dle kat. terénu)
$z_{max}$	-	maximální výška (dle kat. terénu)
$\beta$	-	součinitel pro prvky namáhané vzpěrným tlakem
$\rho_{g,k}$	-	hustota
$\rho_v$	-	hustota vzduchu
$\mu_i$	-	tvarový součinitel
$\gamma_g$	-	součinitel stálého zatížení
$\gamma_m$	-	součinitel materiálu
$\gamma_q$	-	součinitel proměnného zatížení
$\Psi_{0,i}$	-	součinitel průhybu nahodilého zatížení
$\sigma_{c,0,d}$	-	návrhové napětí v tlaku rovnoběžně s vlákny
$\sigma_{c,crit}$	-	kritické napětí v tlaku rovnoběžně s vlákny
$\sigma_{m,y,d}$	-	návrhové napětí v ohybu v ose y
$\sigma_{m,crit}$	-	kritické napětí v ohybu
$\sigma_{m,z,d}$	-	návrhové napětí v ohybu v ose z
$\sigma_{t,0,d}$	-	návrhové napětí v tahu rovnoběžně s vlákny
$\lambda_{rel,m}$	-	relativní štíhlost v ohybu
$\lambda_{rel,y}$	-	relativní štíhlostní poměr ve směru osy y
$\lambda_{rel,z}$	-	relativní štíhlostní poměr ve směru osy z
$\lambda_y$	-	štíhlostní poměr ve směru osy y
$\lambda_z$	-	štíhlostní poměr ve směru osy z
$\tau_{v,Ed}$	-	návrhové napětí ve smyku za ohybu

# 1. ÚVOD

Předmětem bakalářské práce je návrh a posouzení nosné konstrukce dřevěné výrobní haly. Navržená hala bude sloužit jako výrobní prostory firmy Jägermeister. Budova je umístěna v krajském městě Západních Čech – Plzni.

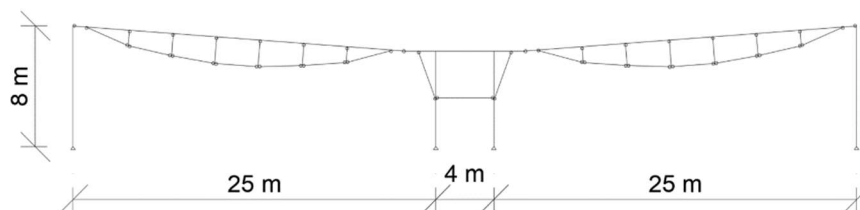
## 1.1. Cíle práce

Hlavním cílem práce je návrh prvků nosné konstrukce halového objektu. Dílčí cíle práce jsou pak stanovení zatížení na konstrukci, zpracování statického modelu ve zvoleném softwaru. Bude proveden výpočet vnitřních sil na vytvořeném modelu a poté následný návrh prvků, navržení vybraných spojů a zpracování vybraných výkresů konstrukce.

## 1.2. Informace o konstrukci

### 1.2.1. Geometrie konstrukce

délka:	$D = 72 \text{ m}$
šířka:	$\text{Š} = 54 \text{ m}$
výška:	$V = 8 \text{ m}$
vzdálenost vazníků:	$L = 4,8 \text{ m}$
vzdálenost vaznic:	$B = 1 \text{ m}$



Obrázek 1: Schéma geometrie konstrukce

### 1.2.2. Popis konstrukce

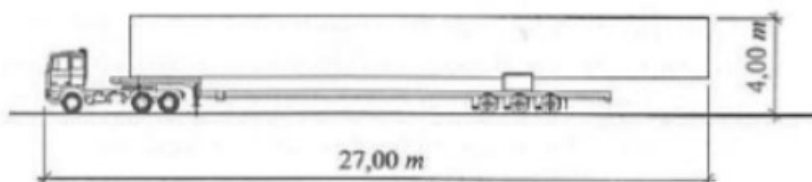
Navržená dřevěná konstrukce má půdorysné rozměry 72 x 54 m. Objekt se nachází v lokalitě Plzeň – Košutka. Navržená konstrukce je dvoulodní z lepených vazníků, které staticky fungují jako vzpínadlo. Mezi dvěma trakty haly se nachází ztužující dvojice sloupů s rozpěrou a vzpěrami středního nosníku. Konstrukce je ve spojích staticky řešena kloubovým napojením. Vzdálenost mezi jednotlivými příčnými vazbami konstrukce je 4,8 m. V podélném směru ztužení zajišťují vaznice, které jsou umístěny mezi lepenými vazníky v kombinaci s táhly.

### 1.2.3. Doprava a skladování materiálu

Doprava prvků na staveniště bude prováděna po běžných pozemních komunikacích. Pro běžné prvky z rostlého dřeva (např. vaznice, rozpěry) není jejich rozměr nijak omezující.

Speciální vozy pro dopravu budou muset být použity pro lepené vazníky o délkovém rozměru 23 m. Pro tuto manipulaci bude použit tahač a valníkový návěs s přemostěním. K nakládání prvků bude sloužit portálový jeřáb v místě výroby a pro menší prvky vysokozdvizný vozík. K vykládání slouží staveništní jeřáb.

Během skladování materiálu na staveništi musí být zajištěna jeho ochrana před porušením a klimatickými podmínkami.



Obrázek 2: Schéma dopravního prostředku

## 2. ZATÍŽENÍ

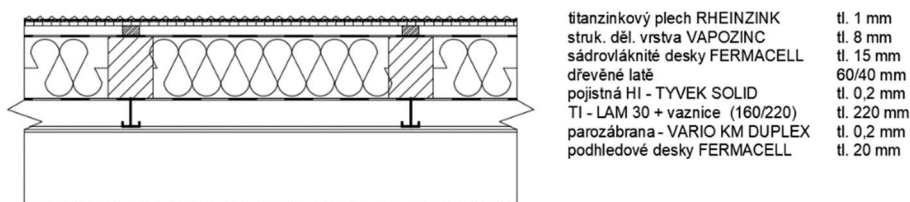
### 2.1. Zatížení stálá

#### 2.1.1. Vlastní tíha

Zatížení vlastní tíhou je automaticky počítáno a zahrnuto do průběhu vnitřních sil programem SCIA Engineer 18 – studentská verze.

#### 2.1.2. Ostatní stálá zatížení

##### 2.1.2.1. Střešní pláště



Obrázek 3: Skladba střešního pláště

Výpočet zatížení:

Název	Tloušťka [m]	Objemová tíha [kN/m <sup>3</sup> ]	Plošné zatížení [kN/m <sup>2</sup> ]	Liniové zatížení [kN/m]
titanzinkový plech	0,001	72	0,072	-
Strukturovaná dělicí vrstva	0,008	1,17	0,009	-
desky FERMACELL	0,015	11,5	0,173	-
dřevěné latě	0,06/0,04	4,2	-	0,010
pojistná HI	-	-	0,001	-
TI LAM 30	0,22	0,8	0,176	-
vaznice	0,22*0,16	4,2	-	0,148
parozábrana	-	-	0,001	-
podhled	2*0,010	11,5	0,230	-
			$\Sigma = 0,662$	$\Sigma = 0,158$

Tabulka 1: Zatížení střešním pláštěm

Přepočet na bodové zatížení:

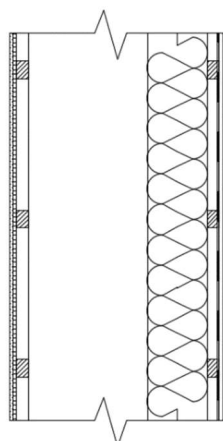
od plošného zatížení:  $Zat * L * B = 0,662 * 4,8 * 1 = 3,178$  kN

od liniového zatížení:  $Zat * B = 0,158 * 4,8 = 0,758$  kN

celkové bodové zatížení od pláště:  $g_k = 3,178 + 0,758 = 3,945$  kN

+ 20 % instalace, závěsná světla, apod...

$$F_{k, \text{střecha}} = 3,945 * 1,2 = 4,734 \text{ kN}$$

2.1.2.2. Plášť obvodové stěny


ext. omítka FERMACELL	tl. 15 mm
sádrovláknité desky FERMACELL	tl. 12,5 mm
dřevěné paždíky	40/60 mm
TI mezi sloupy	tl. 200 mm
dřevěné paždíky	40/60 mm
parozábrana VARIO KM DUPLEX	tl. 0,2 mm
sádrovláknité desky FERMACELL	tl. 12,5 mm
int. omítka FERMACELL	tl. 2 mm

Obrázek 4: Schéma obvodové stěny

Výpočet zatížení:

Název	Tloušťka [m]	Objemová tíha [kN/m <sup>3</sup> ]	Plošné zatížení [kN/m <sup>2</sup> ]	Liniové zatížení [kN/m]
ext. omítka	0,015	0,005	0,001	-
desky FERMACELL	0,0125	11,5	0,150	-
dřevěné paždíky	0,04/0,06	4,2	-	0,01
TI (mezi sloupy)	0,2	0,8	0,16	-
dřevěné paždíky	0,04/0,06	4,2	-	0,01
parozábrana	-	-	0,001	-
desky FERMACELL	0,0125	11,5	0,150	-
interiérová omítka	0,002	0,005	0,001	-
			$\Sigma = 0,463$	$\Sigma = 0,02$

Tabulka 2: Zatížení střešním pláštěm

Přepočet na liniové zatížení:

 od plošného zatížení:  $Zat * B = 0,463 * 4,8 = 2,222 \text{ kN/m}$ 

od liniového zatížení:

$$Zat * B / d_{paž} = 0,02 * 4,8 / 0,5 = 0,192 \text{ kN/m}$$

celkové bodové zatížení od pláště (po výšce):

$$g_{k, stěna} = 2,222 + 0,192 = 2,414 \text{ kN/m}$$

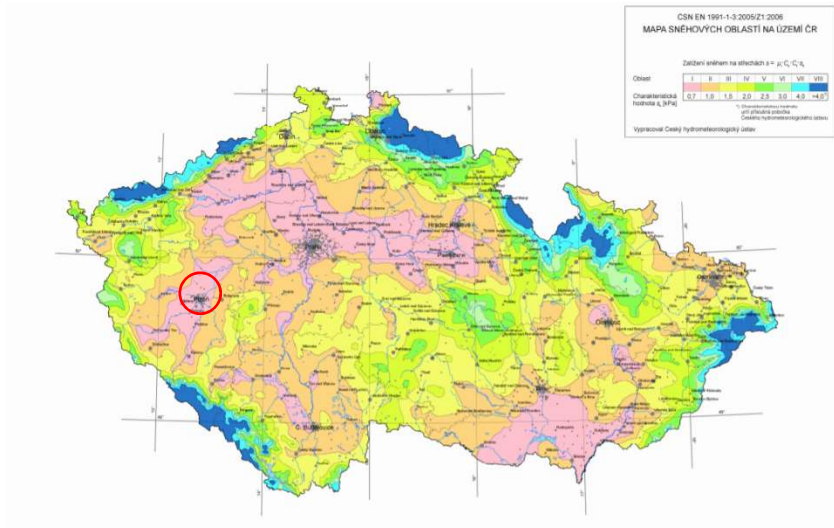
$d_{paž}$  – osová vzdálenost paždíků  
 $d_{paž} = 0,5 \text{ m}$

## 2.2. Proměnná zatížení

### 2.2.1. Zatížení sněhem

dle  
ČSN EN 1991-1-3

Lokalita: Plzeň -> sněhová oblast I. (dle sněhové mapy)

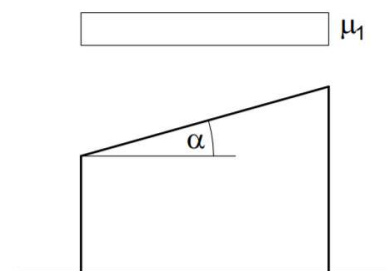


Obrázek 6: Sněhová mapa

Střecha má ve všech částech sklon  $< 5^\circ$ , proto ji můžeme uvažovat jako plochou střechu (viz schéma pro součinitel  $\mu_1$ ). Tvarové součinitele  $\mu_i$  jsou pak určeny dle následující tabulky pro úhel sklonu střechy.

Úhel sklonu střechy	$0^\circ \leq \alpha \leq 30^\circ$	$30^\circ < \alpha < 60^\circ$	$\alpha \geq 60^\circ$
$\mu_1$	0,8	$0,8 (60 - \alpha) / 30$	0,0
$\mu_2$	$0,8 + 0,8\alpha / 30$	1,6	---

Tabulka 3: Tabulka tvarového součinitele



Obrázek 5: Schéma zatížení sněhem

Sníh rovnoměrný:

$$s_k = 0,7 \text{ kN/m}^2$$

$c_e = 1$  (normální  
typ krajiny)

$$c_t = 1$$

$$s_1 = s_k \cdot c_e \cdot c_t \cdot \mu_1$$

$$s_1 = 0,7 \cdot 1 \cdot 1 \cdot 0,8$$

$$s_1 = 0,56 \text{ kN/m}^2$$

Navátý sníh se pro ploché střechy nevyskytuje. Zatížení sněhem se bude přenášet přes střešní plášť do vaznic a poté na vazník, proto pro vstupní hodnoty do SCIE převedeme sníh na bodové zatížení.

dle  
ČSN EN 1991-1-4

$$F_s = s_1 \cdot B \cdot L$$

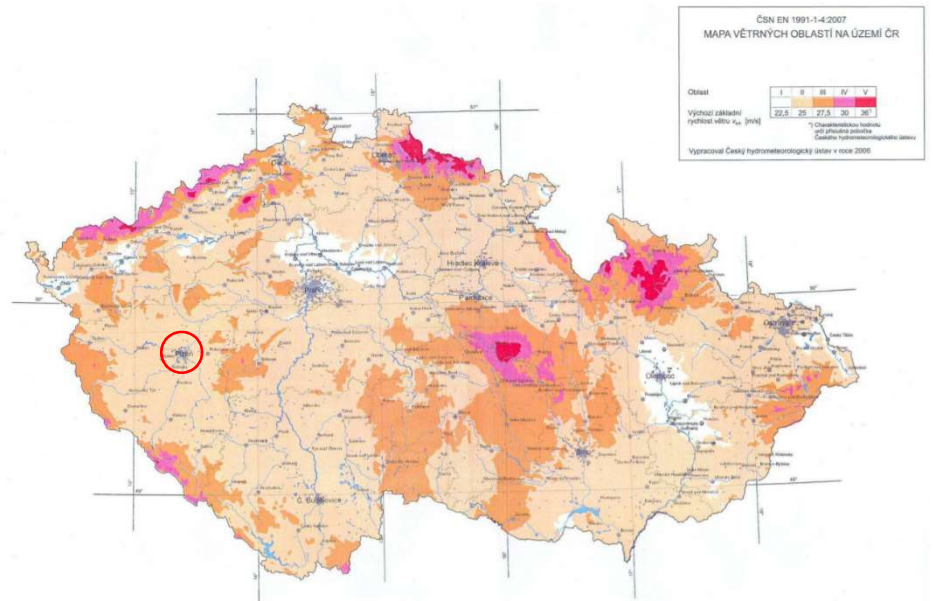
$$F_s = 0,56 \cdot 4,8 \cdot 1$$

$$F_s = 2,69 \text{ kN}$$

### 2.2.2. Zatížení větrem

Lokalita: Plzeň -> větrná oblast II.

Kategorie terénu III.



Obrázek 7: Větrná mapa

$$v_{b,0} = 25 \text{ m/s}$$

$$c_{dir} = 1$$

$$c_{season} = 1$$

$$\rho = 1,25 \text{ kg/m}^3$$

$$c_{0(z)} = 1$$

$$z_{0,II} = 0,05 \text{ m}$$

Základní rychlost větru  $v_b$ :

$$v_b = c_{dir} \cdot c_{season} \cdot v_{b,0}$$

$$v_b = 1 \cdot 1 \cdot 25$$

$$v_b = 25 \text{ m/s}$$

Charakteristická střední rychlost větru  $v_{m(z)}$ :

$$v_{m(z)} = c_{r(z)} \cdot c_{0(z)} \cdot v_b$$

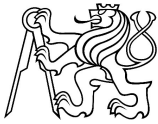
$$v_{m(z)} = 0,706 \cdot 1 \cdot 25$$

$$v_{m(z)} = 17,65 \text{ m/s}$$

$$k_r = 0,19 \cdot \left(\frac{z_0}{z_{0,II}}\right)^{0,07}$$

$$k_r = 0,19 \cdot \left(\frac{0,3}{0,05}\right)^{0,07}$$

$$k_r = 0,215$$



$$z = 8 \text{ m}$$

$$z_{\min} = 5 \text{ m}$$

$$z_{\max} = 200 \text{ m}$$

$$\text{pro } z \text{ v intervalu } \langle z_{\min}; z_{\max} \rangle: c_{r(z)} = k_r \cdot \ln\left(\frac{z}{z_0}\right)$$

$$c_{r(z)} = 0,215 \cdot \ln\left(\frac{8}{0,3}\right)$$

$$c_{r(z)} = 0,706$$

Maximální dynamický tlak  $q_{p(z)}$ :

$$q_{p(z)} = [1 + 7 \cdot I_{v(z)}] \cdot \frac{1}{2} \cdot \rho \cdot v_m^2(z)$$

$$q_{p(z)} = [1 + 7 \cdot 0,305] \cdot \frac{1}{2} \cdot 1,25 \cdot 17,65^2 \cdot 10^{-3}$$

$$q_{p(z)} = \mathbf{0,610 \text{ kN/m}^2}$$

$$k_1 = 1$$

$$\text{vliv turbulence: } I_{v(z)} = \frac{k_1}{c_{0(z)} \cdot \ln\left(\frac{z}{z_0}\right)} = \frac{1}{1 \cdot \ln\left(\frac{8}{0,3}\right)} = 0,305$$

Výsledný tlak větru:

$$w_e = q_{p(z)} \cdot c_{pe,10,i}$$



### 2.2.2.1. Zatížení větrem na stěny

Dle následujícího schématu mohou nastat dva případy zatížení. A to vítr na štítovou stěnu a vítr na podélnou stěnu.

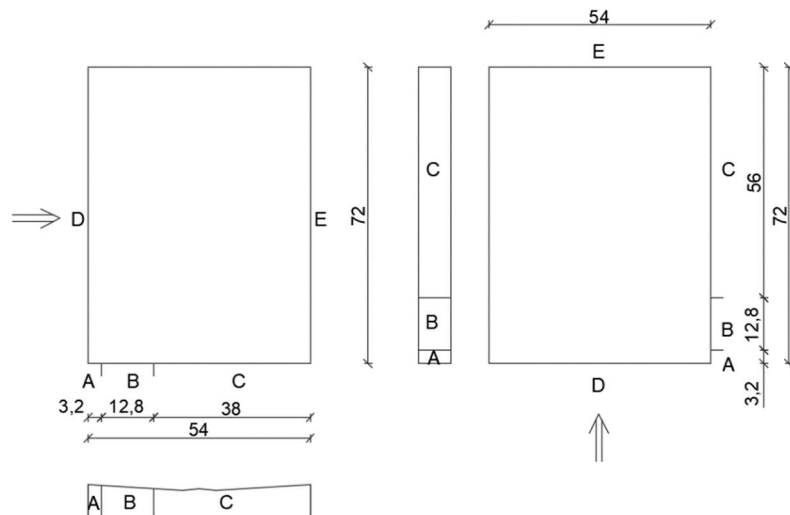
#### A) Zatížení na svislé stěny

$$\text{poměr } h/d_{\text{štít}} = 8/54 = 0,148 < 0,25$$

$$\text{poměr } h/d_{\text{podélně}} = 8/72 = 0,111 < 0,25$$

$$e = \min. (b; 2h) = \min. (72; 16) = 16 \text{ m}$$

Schéma v metrech pro konkrétní případ daného objektu – vítr působící na delší i kratší stranu objektu. Pro dané rozměry objektu lze předpokládat konstantní průběh větru po výšce budovy.



Obrázek 8: Schéma zatížení větrem na stěny

Hodnoty pro oblasti svislých stěn určíme dle následující tabulky. Pro plochu  $> 10 \text{ m}^2$  uvažujeme hodnoty  $c_{pe,10}$ .

Oblast	A		B		C		D		E	
	$c_{pe,10}$	$c_{pe,1}$	$c_{pe,10}$	$c_{pe,1}$	$c_{pe,10}$	$c_{pe,1}$	$c_{pe,10}$	$c_{pe,1}$	$c_{pe,10}$	$c_{pe,1}$
5	-1,2	-1,4	-0,8	-1,1	-0,5	+0,8	+1,0	-0,7		
1	-1,2	-1,4	-0,8	-1,1	-0,5	+0,8	+1,0	-0,5		
$\leq 0,25$	-1,2	-1,4	-0,8	-1,1	-0,5	+0,7	+1,0	-0,3		
mezilehlé hodnoty lze interpolovat										

Tabulka 4: Hodnoty součinitelů pro oblasti stěn

Jelikož vstupní hodnoty jsou pro oba případy podobné a spadají do jedné kategorie, tak hodnoty budou pro oba směry stejné, jen s odlišnou orientací zatěžovacích ploch.

Hodnoty:

$C_{pe,10,A} = -1,2$	$w_{e,A} = 0,61 * (-1,2) = -0,732 \text{ kN/m}^2$
$C_{pe,10,B} = -0,8$	$w_{e,B} = 0,61 * (-0,8) = -0,488 \text{ kN/m}^2$
$C_{pe,10,C} = -0,5$	$w_{e,C} = 0,61 * (-0,5) = -0,305 \text{ kN/m}^2$
$C_{pe,10,D} = 0,7$	$w_{e,D} = 0,61 * (0,7) = 0,427 \text{ kN/m}^2$
$C_{pe,10,E} = -0,3$	$w_{e,E} = 0,61 * (-0,3) = -0,183 \text{ kN/m}^2$

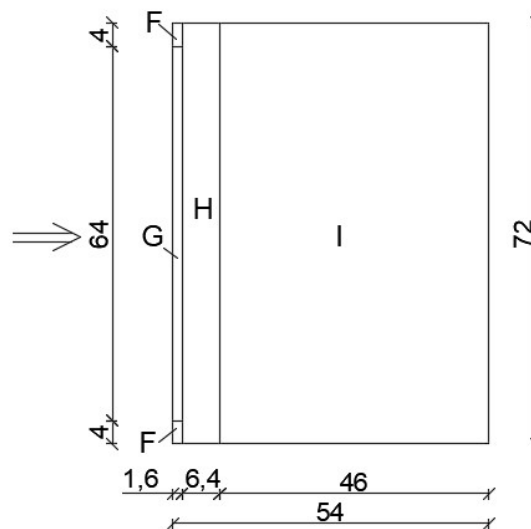
#### 2.2.2.2. Zatížení větrem na plochu střechy

Pro plochou střechu mohou nastat dva případy, příčný a podélný vítr.

##### A) Zatížení příčným větrem

$$\text{poměr } h/d = 8/54 = 0,148 < 0,25$$

$$e = \min. (b; 2h) = \min. (72; 16) = 16 \text{ m}$$



Obrázek 9: Schéma zatížení střechy příčným větrem

Opět určíme hodnoty dle následující tabulky ve sloupci

$C_{pe,10}$ .

Typ ploché střechy		Oblast							
		F		G		H		I	
		$c_{pe,10}$	$c_{pe,1}$	$c_{pe,10}$	$c_{pe,1}$	$c_{pe,10}$	$c_{pe,1}$	$c_{pe,10}$	$c_{pe,1}$
Ostré hrany		-1,8	-2,5	-1,2	-2,0	-0,7	-1,2	+0,2	-0,2
se zábradlím (atikou)	$h_p/h = 0,025$	-1,6	-2,2	-1,1	-1,8	-0,7	-1,2	+0,2	-0,2
	$h_p/h = 0,05$	-1,4	-2,0	-0,9	-1,6	-0,7	-1,2	+0,2	-0,2
	$h_p/h = 0,10$	-1,2	-1,8	-0,8	-1,4	-0,7	-1,2	+0,2	-0,2
zakřivené hrany	$r/h = 0,05$	-1,0	-1,5	-1,2	-1,8	-0,4		+0,2	-0,2
	$r/h = 0,10$	-0,7	-1,2	-0,8	-1,4	-0,3		+0,2	-0,2
	$r/h = 0,20$	-0,5	-0,8	-0,5	-0,8	-0,3		+0,2	-0,2
mansardové hrany	$\alpha = 30^\circ$	-1,0	-1,5	-1,0	-1,5	-0,3		+0,2	-0,2
	$\alpha = 45^\circ$	-1,2	-1,8	-1,3	-1,9	-0,4		+0,2	-0,2
	$\alpha = 60^\circ$	-1,3	-1,9	-1,3	-1,9	-0,5		+0,2	-0,2

Tabulka 5: Hodnoty součinitelů pro oblast střechy

Hodnoty:

$$c_{pe,10,F} = -1,8$$

$$w_{e,F} = 0,61 * (-1,8) = -1,098 \text{ kN/m}^2$$

$$c_{pe,10,G} = -1,2$$

$$w_{e,G} = 0,61 * (-1,2) = -0,732 \text{ kN/m}^2$$

$$c_{pe,10,H} = -0,7$$

$$w_{e,H} = 0,61 * (-0,7) = -0,427 \text{ kN/m}^2$$

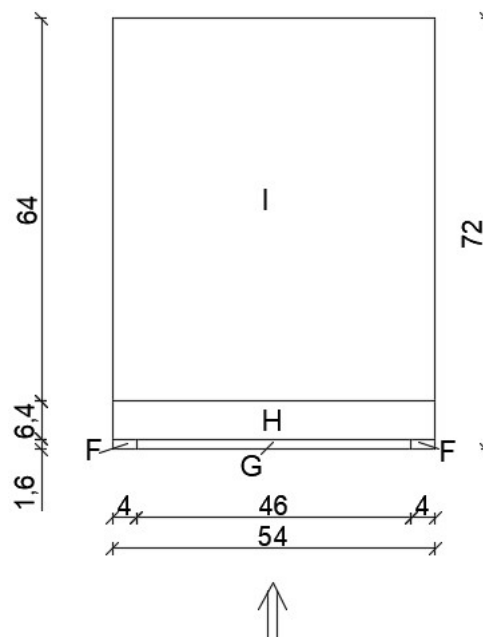
$$c_{pe,10,I} = \pm 0,2$$

$$w_{e,I} = 0,61 * (0,2) = \pm 0,122 \text{ kN/m}^2$$

B) Zatížení podélným větrem

$$\text{poměr } h/d = 8/72 = 0,111 < 0,25$$

$$e = \min. (b; 2h) = \min. (54; 16) = 16 \text{ m}$$



Obrázek 10: Schéma zatížení střechy podélným větrem

Hodnoty budou stejné jako u příčného větru, jen s opačným uspořádáním zón.

Hodnoty:

$$C_{pe,10,F} = -1,8$$

$$C_{pe,10,G} = -1,2$$

$$C_{pe,10,H} = -0,7$$

$$C_{pe,10,I} = \pm 0,2$$

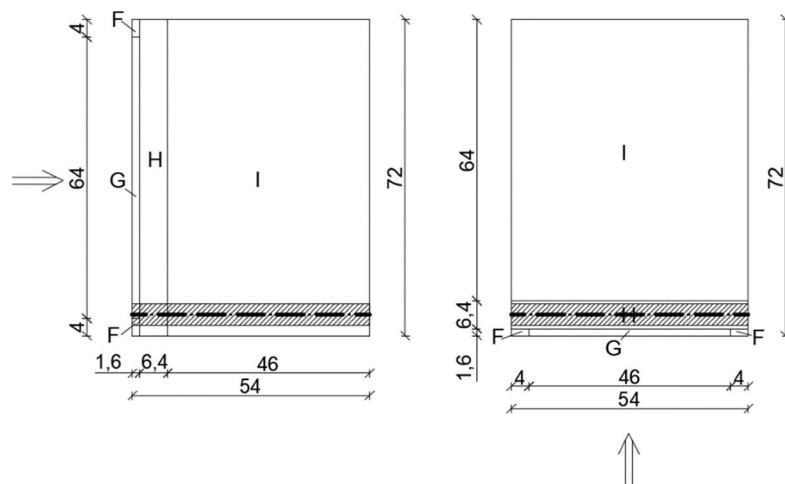
$$w_{e,F} = 0,61 * (-1,8) = -1,098 \text{ kN/m}^2$$

$$w_{e,G} = 0,61 * (-1,2) = -0,732 \text{ kN/m}^2$$

$$w_{e,H} = 0,61 * (-0,7) = -0,427 \text{ kN/m}^2$$

$$w_{e,I} = 0,61 * (0,2) = \pm 0,122 \text{ kN/m}^2$$

Kritický vazník, pro který působí nejnepříznivější kombinace větrných zón je vazník č. 2 znázorněný ve schématu.



Obrázek 11: Schéma nejnamáhanější vazby

Ze schématu vidíme, že zatěžovací plocha vazníku zasahuje při příčném větru do zón: F, G, H, I. Dle normy u větrné zóny I nevíme, jestli bude na konstrukci působit tlakem nebo sáním, proto je pro příčný vítr potřeba vytvořit dva zatěžovací stavy.

U podélného působení větru je celá zatěžovací plocha vazníku v zóně H, postačí tedy pouze jeden zatěžovací stav.

Pro přesné hodnoty do výpočtového softwaru jsou ještě hodnoty násobeny příslušnými zatěžovacími plochami dle zón, ve kterých se vyskytují (viz obrázky 8, 9, 10).

**Shrnutí zatížení větrem:**

[kN/m <sup>2</sup> ]	stěny		střecha		
	příčný	podélný	příčný		podélný
$w_{e,A}$	-0,732	-0,732	/	/	/
$w_{e,B}$	-0,488	-0,488	/	/	/
$w_{e,C}$	-0,305	-0,305	/	/	/
$w_{e,D}$	0,427	0,427	/	/	/
$w_{e,E}$	-0,183	-0,183	/	/	/
$w_{e,F}$	/	/	-1,098	-1,098	-1,098
$w_{e,G}$	/	/	-0,732	-0,732	-0,732
$w_{e,H}$	/	/	-0,427	-0,427	-0,427
$w_{e,I}$	/	/	-0,122	0,122	-0,122

Tabulka 6: Souhrn zatížení větrem

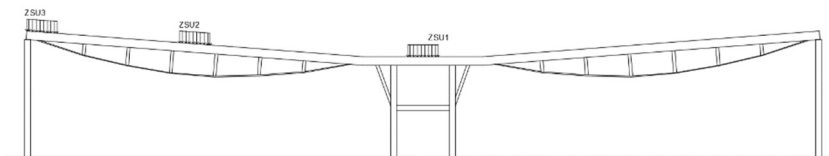
**2.2.3. Užité zatížení**

Užitné zatížení dle EN 1991-1-1

Kategorie střechy H – nepřístupné střechy s výjimkou oprav a běžné údržby.

$$q_k = 0,75 \text{ kN/m}^2$$

Zatížení bylo dle normy rozmístěno na plochu 10 m<sup>2</sup> a to do 3 zatěžovacích stavů, aby bylo v kombinacích dosaženo nejnepříznivějšího účinku zatížení. Zatěžovací stavy užitného zatížení (ZSU) a jejich rozmístění jsou vidět na následujícím obrázku. Jednotlivé zatěžovací stavy se spolu však nekombinují, protože takové působení na střeše nevzniká. Zároveň se zatěžovací stavy užitného zatížení nekombinují s větrem a sněhem.



Obrázek 12: Schéma rozmístění užitného zatížení



## 2.3. Zatěžovací stavy a kombinace

### 2.3.1. Zatěžovací stavy

Celkem na konstrukci působí 9 zatěžovacích stavů označených následovně:

ZS1 – vlastní tíha	
ZS2 – ostatní stálé zatížení	
ZS3a – užité zatížení	(viz. kapitola 2.2.3.)
ZS3b – užité zatížení 2	(viz. kapitola 2.2.3.)
ZS3c – užité zatížení 3	(viz. kapitola 2.2.3.)
ZS4 – sníh	
ZS5a – vítr, příčný	(sání)
ZS5b – vítr, příčný 2	(tlak)
ZS6 – vítr, podélný	

### 2.3.2. Kombinace zatížení

#### Kombinace pro MSÚ:

Dle ČSN EN 1990 (rce 6.10) platí následující vztah:

$$F_d = \sum_{j \geq 1} \gamma_{G,j} \cdot G_{k,j} + \gamma_{Q,1} \cdot Q_{k,1} + \sum_{i > 1} \gamma_{Q,i} \cdot \psi_{0,i} \cdot Q_{k,i}$$

$$\gamma_{G,j} = 1,35$$

$$\gamma_{Q,1} = 1,5$$

$$\gamma_{Q,i} = 1,5$$

$$\psi_{0,i} = 0,7 \quad - \text{sníh}$$

$$\psi_{0,i} = 0,6 \quad - \text{vítr}$$

Pro výpočet bylo v softwaru vytvořeno 14 kombinací, ty již obsahují dané součinitele.

Byly vytvořeny kombinace lineární i nelineární – z důvodu ocelového táhla v konstrukci. Oba výsledky byly porovnány a návrh bude proveden z horších výsledků vnitřních sil.

#### Kombinace pro MSP:

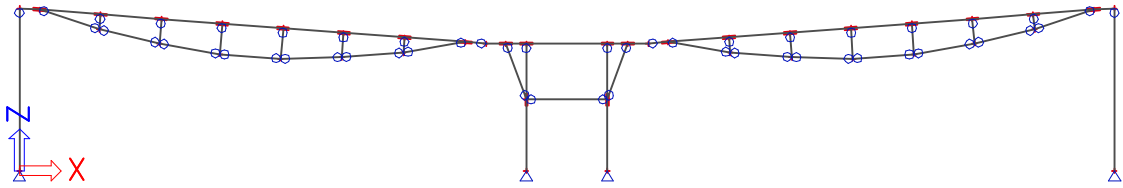
Dle ČSN EN 1990 (rce 6.16) platí pro charakteristickou kombinaci následující vztah:

$$F_d = \sum_{j \geq 1} G_{k,j} + P + Q_{k,1} + \sum_{i \geq 1} \psi_{0,i} \cdot Q_{k,i}$$



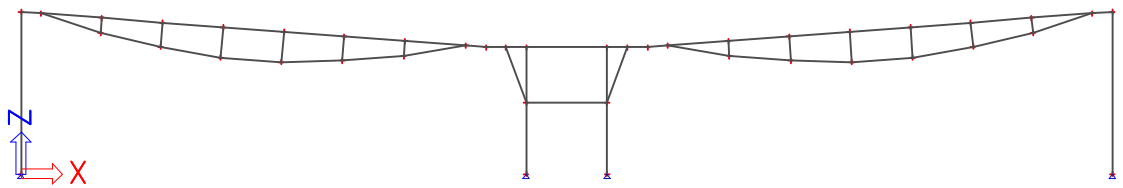
### 2.3.3. Statické schéma a ZS

#### Statické schéma

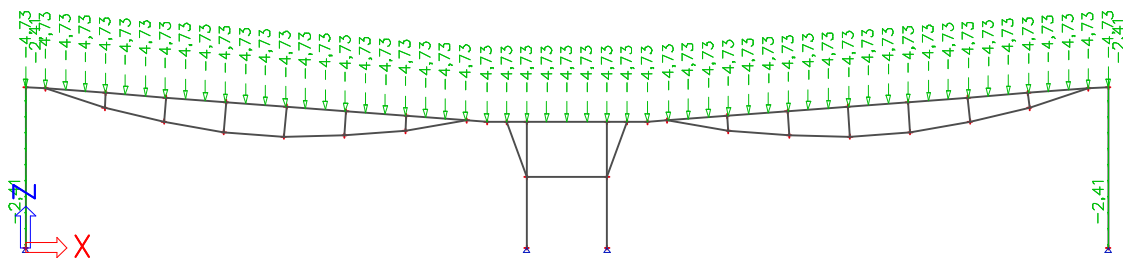


#### ZS1 – vlastní tíha

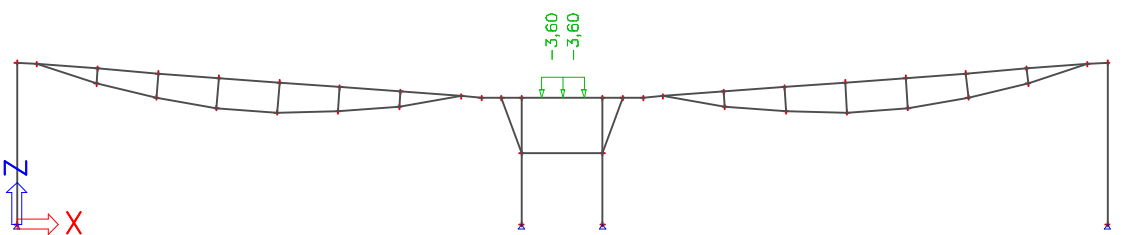
Vypočtena pomocí programu automaticky, není třeba vytvářet zatížení.



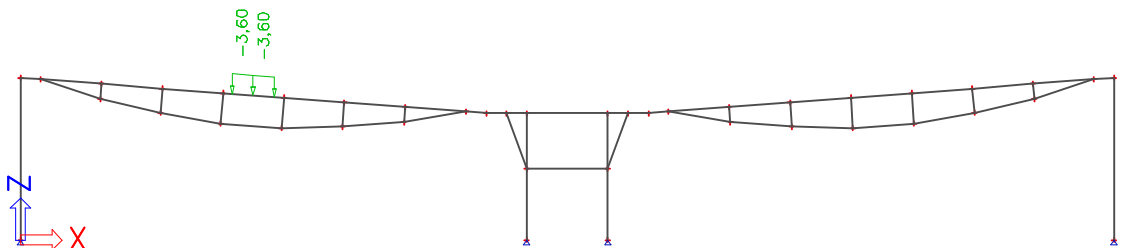
#### ZS2 – ostatní stálé zatížení



#### ZS3a – užité zatížení

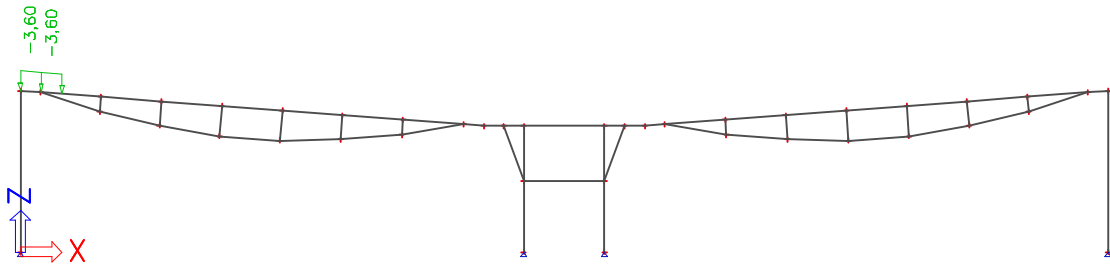


#### ZS3b – užité zatížení 2

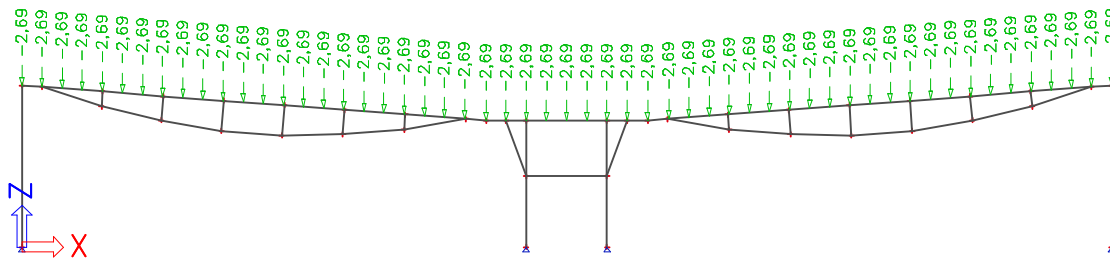




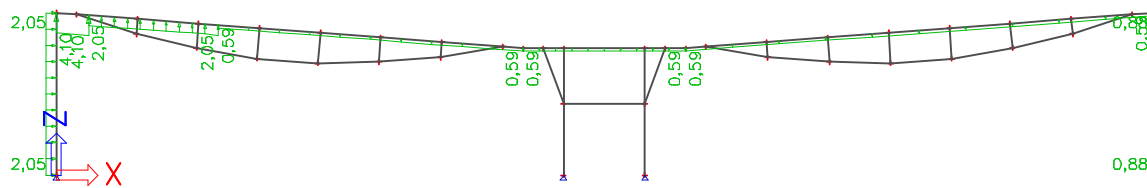
### ZS3c – užité zatížení 3



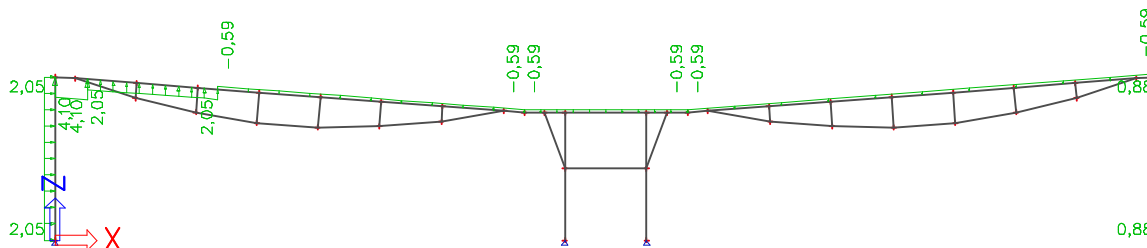
### ZS4 – sníh



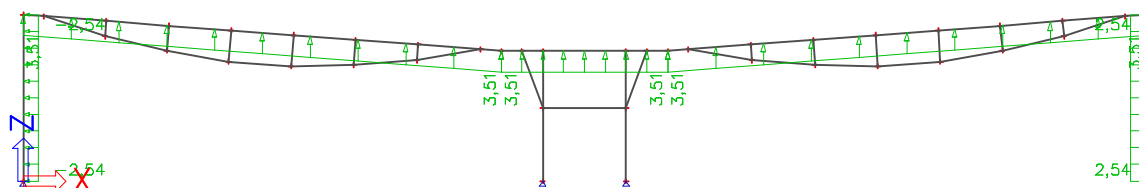
### ZS5a – vítr, příčný



### ZS5b – vítr, příčný 2



### ZS6 – vítr, podélný



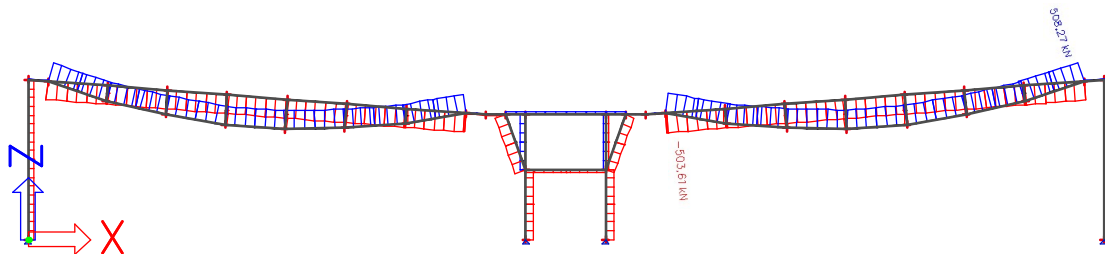




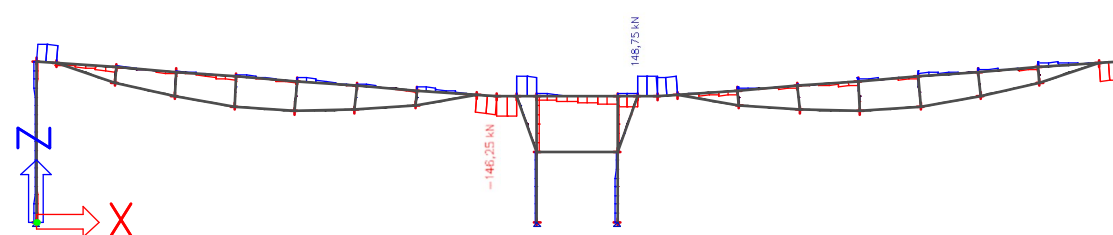
### 2.3.4. Vnitřní síly na konstrukci

Zde zobrazeny pouze průběhy vnitřních sil. Hodnoty budou umístěny u dílčích prvků.

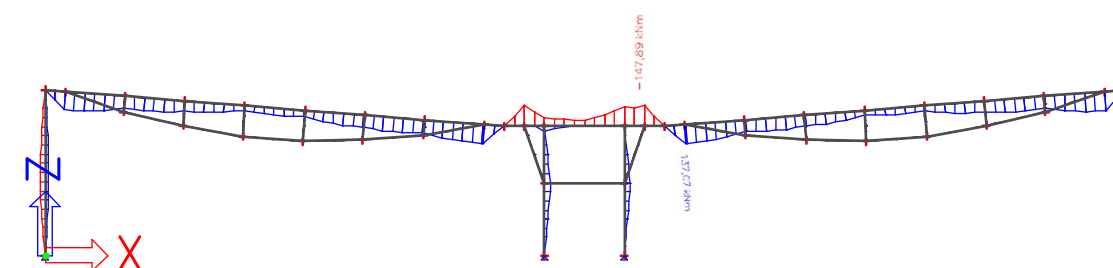
**Normálové síly** (kN)



**Posouvající síly** (kN)

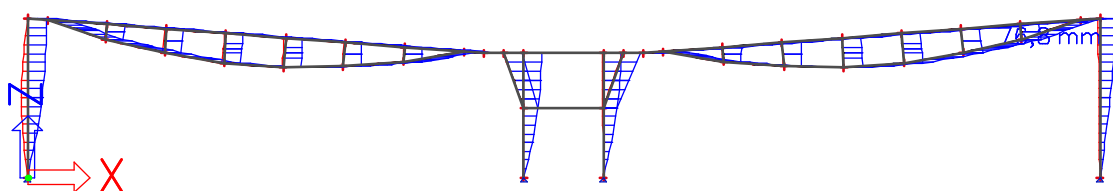


**Ohybové momenty** (kNm)

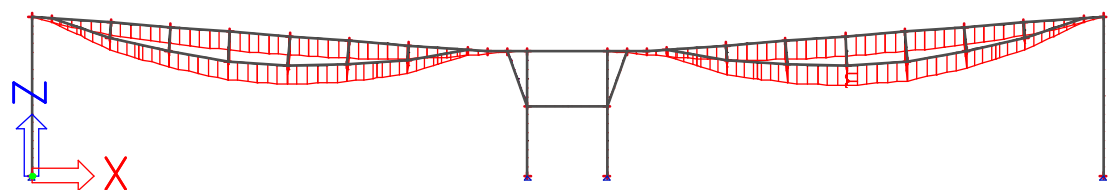


**Průhyby** (mm)

u\_x:



u\_z





## 3. NÁVRH A POSOUZENÍ NOSNÝCH PRVKŮ

### 3.1. Vaznice

#### 3.1.1. Materiálové charakteristiky

Třída pevnosti dřeva: **C24**

Pevnost v ohybu:	$f_{m,g,k} = 24 \text{ N/mm}^2$
Pevnost v tahu	
- rovnoběžně s vlákny:	$f_{t,0,g,k} = 14 \text{ N/mm}^2$
- kolmo k vláknům:	$f_{t,90,g,k} = 0,4 \text{ N/mm}^2$
Pevnost v tlaku	
- rovnoběžně s vlákny:	$f_{c,0,g,k} = 21 \text{ N/mm}^2$
- kolmo k vláknům:	$f_{c,90,g,k} = 2,5 \text{ N/mm}^2$
Pevnost ve smyku:	$f_{v,g,k} = 4 \text{ N/mm}^2$
Modul pružnosti:	$E_{0,g,\text{mean}} = 11 \text{ kN/mm}^2$ $E_{0,g,05} = 7,4 \text{ kN/mm}^2$
Hustota:	$\rho_{g,k} = 420 \text{ kg/m}^3$

#### 3.1.2. Návrhové pevnosti materiálu

Ohybová pevnost:

$$f_{m,g,d} = k_{mod} \cdot \frac{f_{m,k}}{\gamma_m} = 0,9 \cdot \frac{24}{1,3} = 16,62 \text{ MPa}$$

Pevnost v tahu – rovnoběžně s vlákny:

$$f_{t,0,g,d} = k_{mod} \cdot \frac{f_{t,0,g,k}}{\gamma_m} = 0,9 \cdot \frac{14}{1,3} = 9,69 \text{ MPa}$$

Pevnost v tahu – kolmo k vláknům:

$$f_{t,90,g,d} = k_{mod} \cdot \frac{f_{t,90,g,k}}{\gamma_m} = 0,9 \cdot \frac{0,4}{1,3} = 0,28 \text{ MPa}$$

Pevnost v tlaku – rovnoběžně s vlákny:

$$f_{c,0,g,d} = k_{mod} \cdot \frac{f_{c,0,g,k}}{\gamma_m} = 0,9 \cdot \frac{21}{1,3} = 14,54 \text{ MPa}$$

Pevnost v tlaku – kolmo k vláknům:

$$f_{c,90,g,d} = k_{mod} \cdot \frac{f_{c,90,g,k}}{\gamma_m} = 0,9 \cdot \frac{2,5}{1,3} = 1,73 \text{ MPa}$$

Smyková pevnost:

$$f_{v,g,d} = k_{mod} \cdot \frac{f_{v,g,k}}{\gamma_m} = 0,9 \cdot \frac{4}{1,3} = 2,77 \text{ MPa}$$

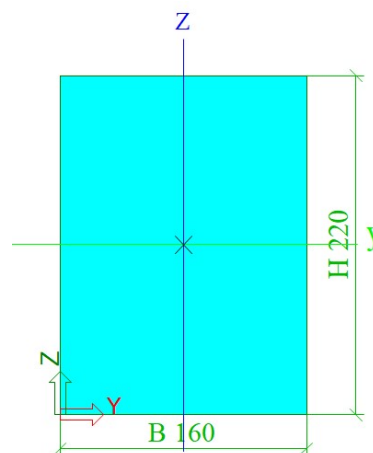
krátkodobé  
zatížení  
třída provozu: 2

$k_{mod} = 0,9$   
 $\gamma_m = 1,3$ , pro  
rostlé dřevo

### 3.1.3. Průřezové charakteristiky, geometrická data

předběžný návrh: 160/220 mm

$b = 160 \text{ mm}$   
 $h = 220 \text{ mm}$   
 $A = 35\,200 \text{ mm}^2$   
 $I_y = 141,97 \cdot 10^6 \text{ mm}^4$   
 $I_z = 75,09 \cdot 10^6 \text{ mm}^4$   
 $W_y = 1,29 \cdot 10^6 \text{ mm}^3$   
 $W_z = 0,94 \cdot 10^6 \text{ mm}^3$   
 $i_y = 63,51 \text{ mm}$   
 $i_z = 46,19 \text{ mm}$   
osová vzdálenost = 1 m  
délka = 4,8 m



### 3.1.4. Zatížení prvku, vnitřní síly a deformace

Pro vaznici vzniká nejnepříznivější kombinace při působení zatěžovacích stavů: ZS1, ZS2, ZS3b, ZS4 a ZS5b. Víme však, že užité zatížení nepůsobí dohromady s větrem ani sněhem a zároveň je převažujícím zatížením nad kombinací obou zbývajících. Proto pro návrh postačí kombinace: ZS1, ZS2 a ZS3b.

Hodnoty vychází z předchozích výpočtů zatížení (viz kapitola 2.)

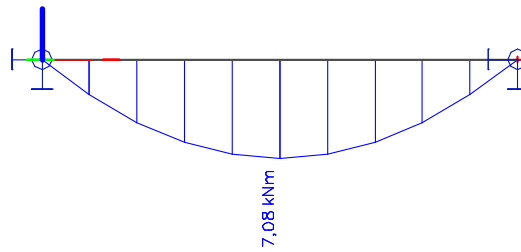
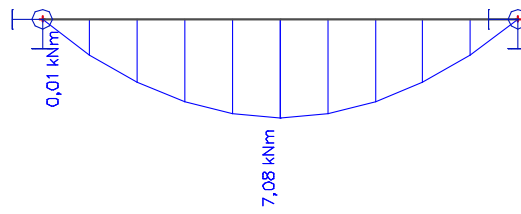
zatížení	char. (kN/m)	souč.	návr. (kN/m)
vl. tíha + stálé	0,99	1,35	1,33
užitné zatížení	0,75	1,50	1,13
			2,46

Tabulka 7: Zatížení vaznice

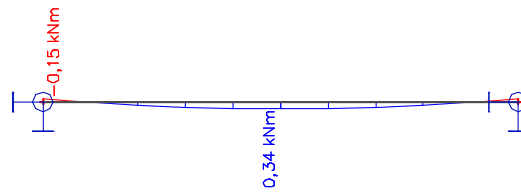
Na konstrukci se vyskytují vaznice, které jsou orientovány kolmo k působícímu zatížení a vaznice, které jsou pod úhlem  $4^\circ$  k danému zatížení. Proto byl vytvořen model pro obě varianty vaznic.



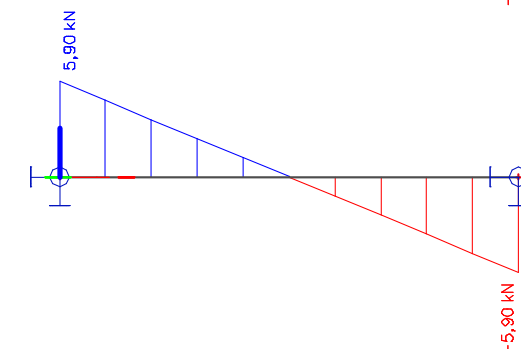
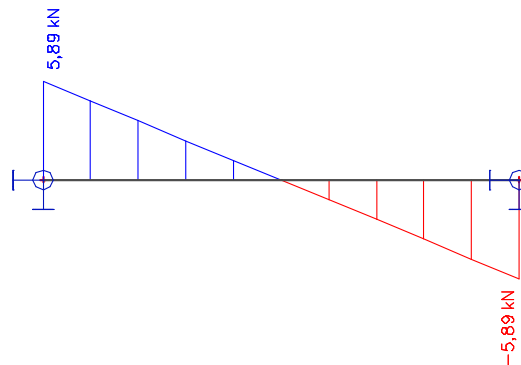
Ohybový moment –  $M_y$  (kNm)

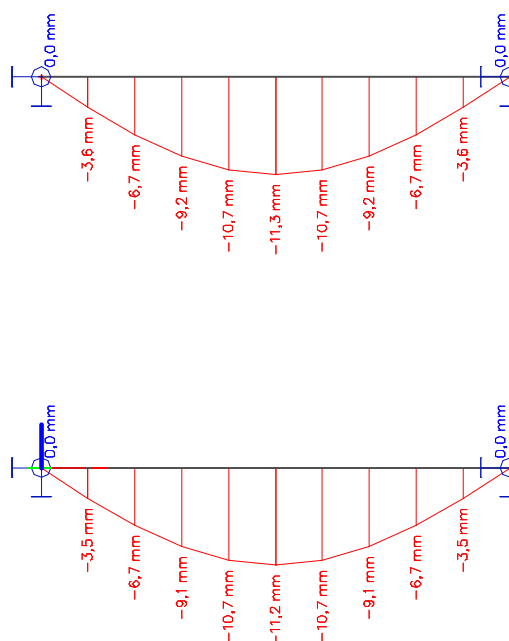


Ohybový moment –  $M_z$  (kNm)



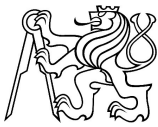
Posouvající síla –  $V_z$  (kN)



Průhyb –  $w_z$  (mm)

Z průběhu vnitřních sil vidíme, že natočení o  $4^\circ$  není pro průběhy vnitřních sil téměř znatelné.

I tak ale posoudíme vaznici na šikmý ohyb. Vaznici, která není natočená není třeba posuzovat, vzhledem k tomu, že vnitřní síly jsou ve směru Z shodné.



Vstupní hodnoty:

$$M_{y,Ed} = 7,08 \text{ kNm}$$

$$M_{z,Ed} = 0,34 \text{ kNm}$$

$$V_{z,Ed} = 5,9 \text{ kN}$$

$k_m = 0,7$  (pro  
obdélníkový  
průřez)

$$k_{cr} = 2/3$$

$$A_{ef} = k_{cr} \cdot b \cdot h$$

### 3.1.5. Posouzení mezního stavu únosnosti

#### Šikmý ohyb

$$\sigma_{m,y,d} = \frac{M_{y,Ed}}{W_y} = \frac{7,08 \cdot 10^6}{1,29 \cdot 10^6} = 5,49 \text{ MPa}$$

$$\sigma_{m,z,d} = \frac{M_{z,Ed}}{W_z} = \frac{0,34 \cdot 10^6}{0,94 \cdot 10^6} = 0,36 \text{ MPa}$$

Posouzení:

$$\frac{k_m \cdot \sigma_{m,y,d}}{f_{m,y,d}} + \frac{\sigma_{m,z,d}}{f_{m,z,d}} \leq 1$$

$$\frac{0,7 \cdot 5,49}{16,62} + \frac{0,36}{16,62} \leq 1$$

$$0,25 \leq 1 \text{ [MPa]} \quad \rightarrow \text{VYHOVUJE}$$

$$\frac{\sigma_{m,y,d}}{f_{m,y,d}} + \frac{k_m \cdot \sigma_{m,z,d}}{f_{m,z,d}} \leq 1$$

$$\frac{5,49}{16,62} + \frac{0,7 \cdot 0,36}{16,62} \leq 1$$

$$0,35 \leq 1 \text{ [MPa]} \quad \rightarrow \text{VYHOVUJE}$$

#### Smyk

$$\tau_{v,Ed} = \frac{3 \cdot V_{z,Ed}}{2 \cdot A_{ef}} = 0,308 \text{ MPa}$$

$$\tau_{v,Ed} = \frac{3 \cdot 5,9 \cdot 10^3}{2 \cdot 0,67 \cdot 0,16 \cdot 0,22}$$

$$\tau_{v,Ed} = 0,38 \text{ MPa}$$

Posouzení:

$$\tau_{v,Ed} \leq f_{v,d}$$

$$0,38 \leq 2,77 \text{ [MPa]} \quad \rightarrow \text{VYHOVUJE}$$



$k = 0,9$  pro prostý  
nosník se  
spojitým  
zatížením

Klopení

$$l_{ef} = k \cdot l = 0,9 \cdot 4,8 = 4,32 \text{ m}$$

$$\sigma_{m,crit} = \frac{0,78 \cdot b^2 \cdot E_{0,05}}{h \cdot l_{ef}}$$

$$\sigma_{m,crit} = \frac{0,78 \cdot 160^2 \cdot 7,4 \cdot 10^3}{220.4320}$$

$$\sigma_{m,crit} = 155,47 \text{ MPa}$$

Poměrná štíhlost:

$$\lambda_{rel,m} = \sqrt{\frac{f_{m,k}}{\sigma_{m,crit}}} = \sqrt{\frac{24}{155,47}} = 0,39 \leq 0,75 \quad \rightarrow k_{crit} = 1$$

Posouzení:

$$\sigma_{m,y,d} \leq k_{crit} \cdot f_{m,d}$$

$$5,49 \leq 1 \cdot 16,62$$

$$5,49 \leq 16,62 \text{ [MPa]} \quad \rightarrow \text{VYHOVUJE}$$

VAZNICE VYHOVUJE NA 1. MS

## 3.1.6. Posouzení mezního stavu použitelnosti

K ose y je velikost průhybu 0,1 mm zanedbatelná, proto není třeba k této ose průhyby posuzovat.

K ose Z:

od stálého zatížení:  $u_{z,g,inst} = 4,8 \text{ mm}$  (ZS1 + ZS2)

od užitečného zatížení:  $u_{z,q,inst} = 3,4 \text{ mm}$  (ZS3b)

od zatížení sněhem:  $u_{z,s,inst} = 2,6 \text{ mm}$  (ZS4)

od zatížení větrem:  $u_{z,w,inst} = 0,5 \text{ mm}$  (ZS5b)

$\psi_{0,i} = 0$   
souč. průhybu  
nahodilého  
zatížení

$$u_{inst} = \sum_{j \geq 1} G_{k,j} + Q_{k,1} + \sum_{i \geq 1} \psi_{0,i} \cdot Q_{k,i}$$

$$u_{inst} = 4,8 + 3,4 + 2,6 + 0,5 + 3,4 \cdot 0 + 2,6 \cdot 0 + 0,5 \cdot 0$$

$$u_{inst} = 11,3 \text{ mm}$$

$$u_{inst,lim} = \frac{l}{300} = \frac{4800}{300} = 16 \text{ mm}$$



Posouzení:

$$u_{inst} \leq u_{inst,lim}$$

$$11,3 \leq 16 [mm] \quad \rightarrow \text{VYHOVUJE}$$

**VAZNICE VYHOVUJE NA 2. MS**





## 3.2. Sloup

### 3.2.1. Materiálové charakteristiky

Třída pevnosti dřeva: **C24**

Pevnost v ohybu:	$f_{m,g,k} = 24 \text{ N/mm}^2$
Pevnost v tahu	
- rovnoběžně s vlákny:	$f_{t,0,g,k} = 14 \text{ N/mm}^2$
- kolmo k vláknům:	$f_{t,90,g,k} = 0,4 \text{ N/mm}^2$
Pevnost v tlaku	
- rovnoběžně s vlákny:	$f_{c,0,g,k} = 21 \text{ N/mm}^2$
- kolmo k vláknům:	$f_{c,90,g,k} = 2,5 \text{ N/mm}^2$
Pevnost ve smyku:	$f_{v,g,k} = 4 \text{ N/mm}^2$
Modul pružnosti:	$E_{0,g,mean} = 11 \text{ kN/mm}^2$
	$E_{0,g,05} = 7,4 \text{ kN/mm}^2$
Hustota:	$\rho_{g,k} = 420 \text{ kg/m}^3$

### 3.2.2. Návrhové pevnosti materiálu

Ohybová pevnost:

$$f_{m,g,d} = k_{mod} \cdot \frac{f_{m,k}}{\gamma_m} = 0,9 \cdot \frac{24}{1,3} = 16,62 \text{ MPa}$$

Pevnost v tahu – rovnoběžně s vlákny:

$$f_{t,0,g,d} = k_{mod} \cdot \frac{f_{t,0,g,k}}{\gamma_m} = 0,9 \cdot \frac{14}{1,3} = 9,69 \text{ MPa}$$

Pevnost v tahu – kolmo k vláknům:

$$f_{t,90,g,d} = k_{mod} \cdot \frac{f_{t,90,g,k}}{\gamma_m} = 0,9 \cdot \frac{0,4}{1,3} = 0,28 \text{ MPa}$$

Pevnost v tlaku – rovnoběžně s vlákny:

$$f_{c,0,g,d} = k_{mod} \cdot \frac{f_{c,0,g,k}}{\gamma_m} = 0,9 \cdot \frac{21}{1,3} = 14,54 \text{ MPa}$$

Pevnost v tlaku – kolmo k vláknům:

$$f_{c,90,g,d} = k_{mod} \cdot \frac{f_{c,90,g,k}}{\gamma_m} = 0,9 \cdot \frac{2,5}{1,3} = 1,73 \text{ MPa}$$

Smyková pevnost:

$$f_{v,g,d} = k_{mod} \cdot \frac{f_{v,g,k}}{\gamma_m} = 0,9 \cdot \frac{4}{1,3} = 2,77 \text{ MPa}$$

krátkodobé  
zatížení  
třída provozu: 2

$k_{mod} = 0,9$   
 $\gamma_m = 1,3$ , pro  
rostlé dřevo

### 3.2.3. Průřezové charakteristiky, geometrická data

předběžný návrh: 300/500 mm

$$b = 260 \text{ mm}$$

$$h = 380 \text{ mm}$$

$$A = 98\,800 \text{ mm}^2$$

$$I_y = 557 \cdot 10^6 \text{ mm}^4$$

$$I_z = 1\,189 \cdot 10^6 \text{ mm}^4$$

$$W_y = 4,3 \cdot 10^6 \text{ mm}^3$$

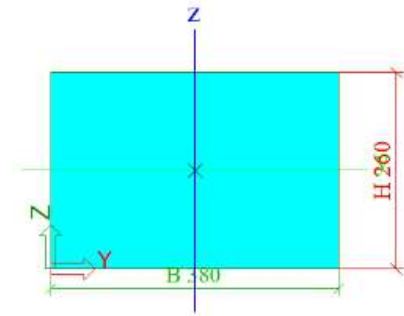
$$W_z = 6,3 \cdot 10^6 \text{ mm}^3$$

$$i_y = 75,1 \text{ mm}$$

$$i_z = 109,7 \text{ mm}$$

osová vzdálenost = 4,8 m

délka = 8 m

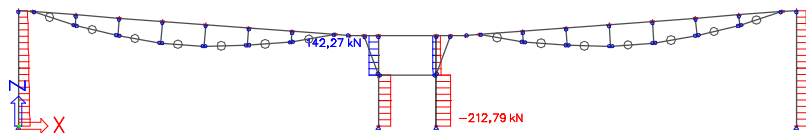


### 3.2.4. Zatížení prvku, vnitřní síly a deformace

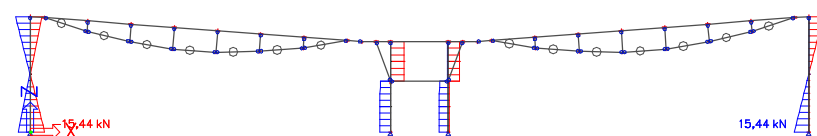
Zatížení sloupů je patrné ze zatěžovacích stavů 2D modelu konstrukce (viz kapitola 2.3.: Zatěžovací stavy a kombinace)

Ve schématech jsou znázorněny pouze globální extrémy.

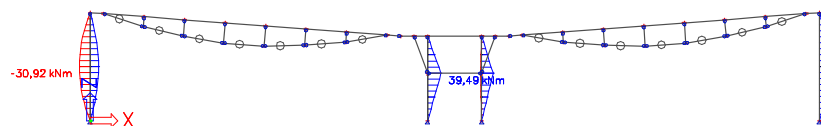
Normálové síly – N (kN)



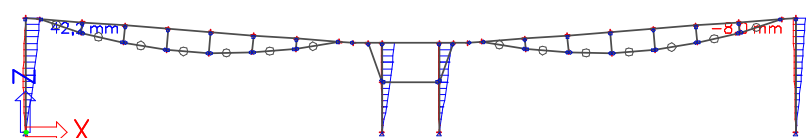
Posouvající síly –  $V_z$  (kN)



Ohybové momenty –  $M_y$  (kNm)



Průhyby –  $w_x$  (mm)





Vstupní hodnoty:

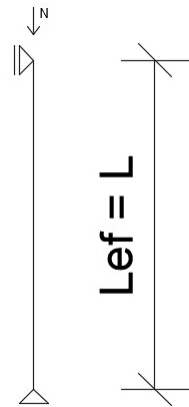
$$N_{Ed} = 212,79 \text{ kN}$$

$$M_{Ed} = 39,49 \text{ kNm}$$

$$V_{Ed} = 15,44 \text{ kN}$$

### 3.2.5. Posouzení mezního stavu únosnosti

#### Kombinace ohybu a tlaku



Menší odolnost proti vybočení ve směru osy z.

$$\lambda = \frac{L_{ef}}{i_y} = \frac{8\,000}{75,1} = 106,5$$

Kritické napětí:

$$\sigma_{c,crit} = \pi^2 \cdot \frac{E_{0,05}}{\lambda^2} = \pi^2 \cdot \frac{7\,400}{106,5^2} = 6,4 \text{ MPa}$$

Štíhlostní poměr:

$$\lambda_{rel,z} = \sqrt{\frac{f_{c,0,k}}{\sigma_{c,crit}}} = \sqrt{\frac{21}{6,4}} = 1,8$$

Součinitel vzpěrnosti:

$$k_y = 0,5 \cdot (1 + \beta_c \cdot (\lambda_{rel} - 0,3) + \lambda_{rel}^2)$$

$$k_y = 0,5 \cdot (1 + 0,2 \cdot (1,8 - 0,3) + 1,8^2)$$

$$k_y = 2,27$$

$\beta_c = 0,2$  (rostlé  
dřevo)



$$k_{c,y} = \frac{1}{k_y + \sqrt{k_y^2 - \lambda_{rel}^2}}$$

$$k_{c,y} = \frac{1}{2,27 + \sqrt{2,27^2 - 1,8^2}}$$

$$k_{c,y} = 0,3$$

Návrhová napětí:

$$\sigma_{c,0,d} = \frac{N_{Ed}}{A} = \frac{212,79 \cdot 10^3}{98\,800} = 2,15 \text{ MPa}$$

$$\sigma_{m,y,d} = \frac{M_{y,Ed}}{W_y} = \frac{39,49 \cdot 10^6}{4,3 \cdot 10^6} = 9,18 \text{ MPa}$$

Posouzení:

$$\frac{\sigma_{c,0,d}}{k_{c,y} \cdot f_{c,0,d}} + k_m \cdot \frac{\sigma_{m,y,d}}{f_{m,y,d}} \leq 1$$

$$\frac{2,15}{0,3 \cdot 14,54} + 0,7 \cdot \frac{9,18}{16,62} \leq 1$$

$$0,88 \leq 1 \quad \rightarrow \text{VYHOVUJE}$$

Smyk

$$\tau_{v,Ed} = \frac{3 \cdot V_{z,Ed}}{2 \cdot A_{ef}}$$

$$\tau_{v,Ed} = \frac{3 \cdot 15,44 \cdot 10^3}{2 \cdot 0,67 \cdot 0,38 \cdot 0,26}$$

$$\tau_{v,Ed} = 0,35 \text{ MPa}$$

Posouzení:

$$\tau_{v,Ed} \leq f_{v,d}$$

$$0,35 \leq 2,77 \text{ [MPa]} \quad \rightarrow \text{VYHOVUJE}$$

**SLOUP VYHOVUJE NA 1. MS**



### 3.2.6. Posouzení mezního stavu použitelnosti

Hlavním kritériem je splnění celkového vodorovného posunu konstrukce.

$h = 8$  m (výška budovy)

$$u_{lim} = \frac{h}{150} = \frac{8000}{150} = 53,3 \text{ mm}$$

Maximální vodorovný posun zjištěn z průběhů deformací ve výpočtovém softwaru (viz kapitola 3.2.4.)

$$u = 42,2 \text{ mm}$$

Posouzení:

$$u_{lim} \geq u$$

$$53,3 \geq 42,2 \text{ [mm]} \quad \rightarrow \text{VYHOVUJE}$$

**SLOUP VYHOVUJE NA 2. MS**



### 3.3. Vazník

#### 3.3.1. Materiálové charakteristiky

Třída pevnosti dřeva: **LLD – GL32h**

Pevnost v ohybu:	$f_{m,g,k} = 32 \text{ N/mm}^2$
Pevnost v tahu	
- rovnoběžně s vlákny:	$f_{t,0,g,k} = 25,6 \text{ N/mm}^2$
- kolmo k vláknům:	$f_{t,90,g,k} = 0,5 \text{ N/mm}^2$
Pevnost v tlaku	
- rovnoběžně s vlákny:	$f_{c,0,g,k} = 32 \text{ N/mm}^2$
- kolmo k vláknům:	$f_{c,90,g,k} = 2,5 \text{ N/mm}^2$
Pevnost ve smyku:	$f_{v,g,k} = 3,5 \text{ N/mm}^2$
Modul pružnosti:	$E_{0,g,\text{mean}} = 14,2 \text{ kN/mm}^2$ $E_{0,g,05} = 11,8 \text{ kN/mm}^2$
Hustota:	$\rho_{g,k} = 440 \text{ kg/m}^3$

#### 3.3.2. Návrhové pevnosti materiálu

Ohybová pevnost:

$$f_{m,g,d} = k_{mod} \cdot \frac{f_{m,k}}{\gamma_m} = 0,9 \cdot \frac{32}{1,25} = 23,04 \text{ MPa}$$

Pevnost v tahu – rovnoběžně s vlákny:

$$f_{t,0,g,d} = k_{mod} \cdot \frac{f_{t,0,g,k}}{\gamma_m} = 0,9 \cdot \frac{25,6}{1,25} = 18,43 \text{ MPa}$$

Pevnost v tahu – kolmo k vláknům:

$$f_{t,90,g,d} = k_{mod} \cdot \frac{f_{t,90,g,k}}{\gamma_m} = 0,9 \cdot \frac{0,5}{1,25} = 0,36 \text{ MPa}$$

Pevnost v tlaku – rovnoběžně s vlákny:

$$f_{c,0,g,d} = k_{mod} \cdot \frac{f_{c,0,g,k}}{\gamma_m} = 0,9 \cdot \frac{32}{1,25} = 23,04 \text{ MPa}$$

Pevnost v tlaku – kolmo k vláknům:

$$f_{c,90,g,d} = k_{mod} \cdot \frac{f_{c,90,g,k}}{\gamma_m} = 0,9 \cdot \frac{2,5}{1,25} = 1,8 \text{ MPa}$$

Smyková pevnost:

$$f_{v,g,d} = k_{mod} \cdot \frac{f_{v,g,k}}{\gamma_m} = 0,9 \cdot \frac{3,5}{1,25} = 2,52 \text{ MPa}$$

krátkodobé  
zatížení  
třída provozu: 2

$k_{mod} = 0,9$

$\gamma_m = 1,25$ , pro  
lepené lamelové  
dřevo

### 3.3.3. Průřezové charakteristiky, geometrická data

předběžný návrh: 2x 140/600 mm

$$b = 280 \text{ mm}$$

$$h = 600 \text{ mm}$$

$$A = 168\,000 \text{ mm}^2$$

$$I_y = 5\,040 \cdot 10^6 \text{ mm}^4$$

$$I_z = 1\,097,6 \cdot 10^6 \text{ mm}^4$$

$$W_y = 16,8 \cdot 10^6 \text{ mm}^3$$

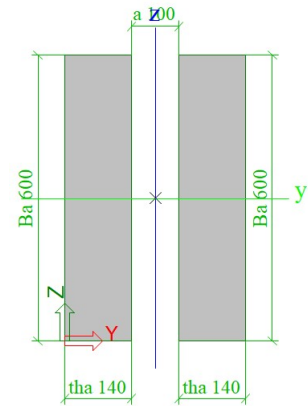
$$W_z = 7,84 \cdot 10^6 \text{ mm}^3$$

$$i_y = 173,21 \text{ mm}$$

$$i_z = 80,83 \text{ mm}$$

osová vzdálenost = 4,8 m

délka = 23 m

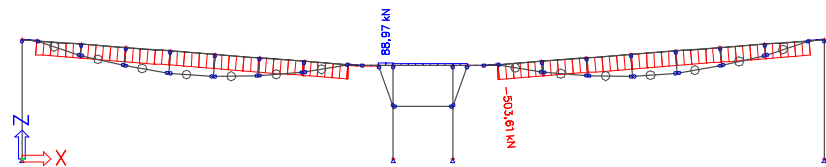


Vazník je tvořen dvěma dílčími nosníky, které jsou každých 1000 mm propojeny dřevěným paždíkem a konstrukčním svorníkem.

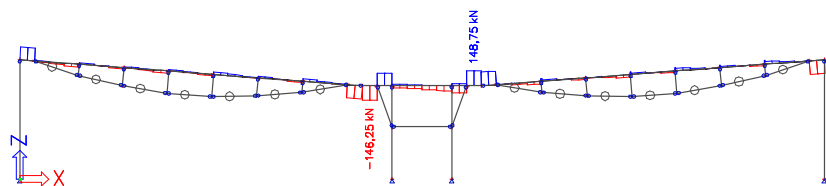
### 3.3.4. Zatížení prvku, vnitřní síly a deformace

Zatížení vazníků je patrné ze zatěžovacích stavů 2D modelu konstrukce (viz kapitola 2.3.: Zatěžovací stavy a kombinace). Ve schématech jsou znázorněny pouze globální extrémy.

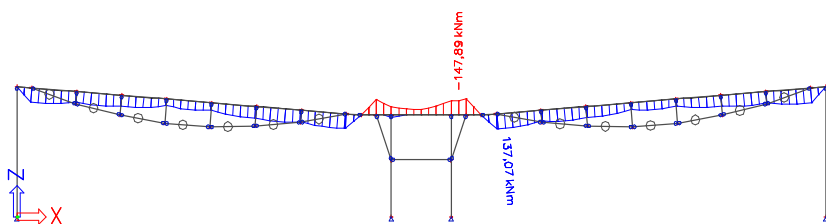
Normálové síly – N (kN)

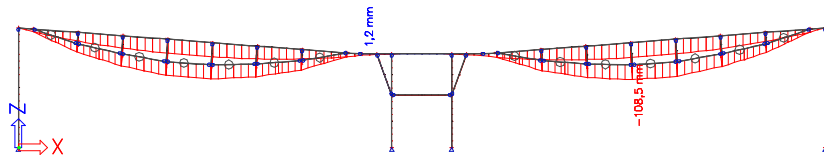


Posouvající síly –  $V_z$  (kN)



Ohybové momenty –  $M_y$  (kNm)



Průhyby –  $w_z$  (mm)

Vstupní hodnoty:

$$N_{Ed,c} = 503,61 \text{ kN}$$

$$N_{Ed,t} = 88,97 \text{ kN}$$

$$M_{Ed} = 147,9 \text{ kNm}$$

$$V_{Ed} = 148,75 \text{ kN}$$

### 3.3.5. Posouzení mezního stavu únosnosti

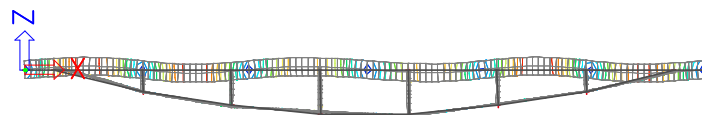
#### Vzpěrný tlak

$$\sigma_{c,0,d} = \frac{N_{Ed,c}}{A} = \frac{503,61 \cdot 10^3}{168\,000} = 3,0 \text{ MPa}$$

#### A) v rovině vazníku

Výpočetním modelem lineární stability bylo ověřeno, že součet zatížení vlastní tíhou a ostatního stálého zatížení způsobí vždy vybočení nosníku směrem dolů. Vzhledem ke konstrukci vzpínadla se při vybočení daným směrem aktivuje táhlo, které pomůže společně se vzpěrkami zmenšit kritickou délku. Proto není třeba uvažovat celou délku nosníku. Kritická délka bude určena následujícím výpočtem:

Z výpočtu lineární stability byl zjištěn koeficient  $k = 51,91$ .



$\beta_c = 0,1$  (lepené dřevo)

$$L_{cr,y} = \pi \cdot \sqrt{\frac{E \cdot I_y}{N_{cr}}} \quad \text{kde } N_{cr} = N_{Ed,c} \cdot k$$

$$L_{cr,y} = \pi \cdot \sqrt{\frac{11\,800 \cdot 5\,040 \cdot 10^6}{503,61 \cdot 10^3 \cdot 51,91}}$$

$$L_{cr,y} = 4\,738 \text{ mm}$$





$$\lambda_y = \frac{L_{cr,y}}{i_y} = \frac{4\,738}{173,21} = 27,35$$

Kritické napětí:

$$\sigma_{c,crit} = \pi^2 \cdot \frac{E_{0,05}}{\lambda_y^2} = \pi^2 \cdot \frac{11\,800}{27,35^2} = 155,7 \text{ MPa}$$

Štíhlostní poměr:

$$\lambda_{rel,y} = \sqrt{\frac{f_{c,0,k}}{\sigma_{c,crit}}} = \sqrt{\frac{32}{155,7}} = 0,45$$

$$k_y = 0,5 \cdot (1 + \beta_c \cdot (\lambda_{rel,y} - 0,3) + \lambda_{rel,y}^2)$$

$$k_y = 0,5 \cdot (1 + 0,1 \cdot (0,45 - 0,3) + 0,45^2)$$

$$k_y = 0,61$$

$$k_{c,y} = \frac{1}{k_y + \sqrt{k_y^2 - \lambda_{rel,y}^2}}$$

$$k_{c,y} = \frac{1}{0,61 + \sqrt{0,61^2 - 0,45^2}}$$

$$k_{c,y} = 0,98$$

Posouzení:

$$\frac{\sigma_{c,0,d}}{k_{c,y} \cdot f_{c,0,d}} \leq 1$$

$$\frac{3,0}{0,98 \cdot 23,04} \leq 1$$

$$0,13 \leq 1$$

-> **VYHOVUJE**



$L_{cr,z} = 4\,000$  mm –  
vzdálenost  
vaznic, které jsou  
součástí ztužení

B) z roviny vazníku

$$\lambda_z = \frac{L_{cr,z}}{i_z} = \frac{4\,000}{80,83} = 49,49$$

Kritické napětí:

$$\sigma_{c,crit} = \pi^2 \cdot \frac{E_{0,05}}{\lambda_z^2} = \pi^2 \cdot \frac{11\,800}{49,49^2} = 47,55 \text{ MPa}$$

Štíhlostní poměr:

$$\lambda_{rel,z} = \sqrt{\frac{f_{c,0,k}}{\sigma_{c,crit}}} = \sqrt{\frac{32}{47,55}} = 0,82$$

$$k_z = 0,5 \cdot (1 + \beta_c \cdot (\lambda_{rel,z} - 0,3) + \lambda_{rel,z}^2)$$

$$k_z = 0,5 \cdot (1 + 0,1 \cdot (0,82 - 0,3) + 0,82^2)$$

$$k_z = 0,86$$

$$k_{c,z} = \frac{1}{k_z + \sqrt{k_z^2 - \lambda_{rel,z}^2}}$$

$$k_{c,z} = \frac{1}{0,86 + \sqrt{0,86^2 - 0,82^2}}$$

$$k_{c,z} = 0,89$$

Posouzení:

$$\frac{\sigma_{c,0,d}}{k_{c,z} \cdot f_{c,0,d}} \leq 1$$

$$\frac{3,0}{0,89 \cdot 23,04} \leq 1$$

$$0,15 \leq 1$$

-> **VYHOVUJE**

Kombinace ohybu a vzpěrného tlaku

$$\sigma_{c,0,d} = \frac{N_{Ed,c}}{A} = \frac{503,61 \cdot 10^3}{168\,000} = 3,5 \text{ MPa}$$

$$\sigma_{m,y,d} = \frac{M_{y,Ed}}{W_y} = \frac{147,9 \cdot 10^6}{14,4 \cdot 10^6} = 10,27 \text{ MPa}$$

Posouzení:

 $k_m = 0,7$  (pro  
obdélníkové  
průřezy)

$$\frac{\sigma_{c,0,d}}{k_{c,y} \cdot f_{c,0,d}} + k_m \cdot \frac{\sigma_{m,y,d}}{f_{m,y,d}} \leq 1$$

$$\frac{3,5}{0,98 \cdot 18,43} + 0,7 \cdot \frac{10,27}{23,04} \leq 1$$

$$0,51 \leq 1 \quad \rightarrow \text{VYHOVUJE}$$

Tah ve směru vláken

$$\sigma_{c,0,d} = \frac{N_{Ed,t}}{A} = \frac{88,97 \cdot 10^3}{144\,000} = 0,62 \text{ MPa}$$

Posouzení:

$$\sigma_{c,0,d} \leq f_{t,0,d}$$

$$0,62 \leq 18,43 \text{ [MPa]} \quad \rightarrow \text{VYHOVUJE}$$

Smyk

$$\tau_{v,Ed} = \frac{3 \cdot V_{z,Ed}}{2 \cdot A_{ef}} = 0,308 \text{ MPa}$$

$$\tau_{v,Ed} = \frac{3 \cdot 148,75 \cdot 10^3}{2 \cdot 0,67 \cdot 0,28 \cdot 0,6}$$

$$\tau_{v,Ed} = 1,98 \text{ MPa}$$

Posouzení:

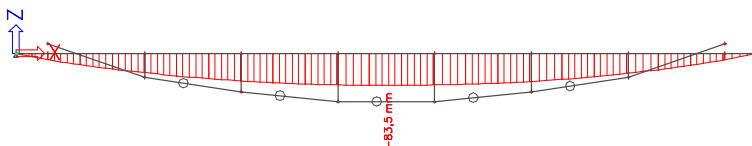
$$\tau_{v,Ed} \leq f_{v,d}$$

$$1,98 \leq 2,52 \text{ [MPa]} \quad \rightarrow \text{VYHOVUJE}$$

**VAZNÍK VYHOVUJE NA 1. MS**

### 3.3.6. Posouzení mezního stavu použitelnosti

Původní zobrazení průhybů (kapitola 3.3.4.) je příliš velké. Skutečné působení horního vazníku je ale kvůli spoji táhla s vazníkem (kapitola 5.3.) u horního okraje odlišné. Proto byl vytvořen výpočetní model s tuhými rameny v místech kotvení táhla o velikosti 300 mm.



Průhyby na upraveném výpočetním modelu:

od stálého zatížení:	$u_{z,g,inst} = 49,4 \text{ mm}$	(ZS1 + ZS2)
od užitečného zatížení:	$u_{z,q,inst} = 6,4 \text{ mm}$	(ZS3b + ZS3c)
od zatížení sněhem:	$u_{z,s,inst} = 25,6 \text{ mm}$	(ZS4)
od zatížení větrem:	$u_{z,w,inst} = 2,1 \text{ mm}$	(ZS5b)

$$u_{inst} = \sum_{j \geq 1} G_{k,j} + Q_{k,1} + \sum_{i \geq 1} \psi_{0,i} \cdot Q_{k,i}$$

$$u_{inst} = 49,4 + 6,4 + 25,6 + 2,1 + 6,4 \cdot 0 + 25,6 \cdot 0 + 2,1 \cdot 0$$

$$u_{inst} = 83,5 \text{ mm}$$

$$u_{inst,lim} = \frac{l}{300} = \frac{23\,000}{300} = 76,7 \text{ mm}$$

Posouzení:

$$u_{inst} \leq u_{inst,lim}$$

$$83,5 \leq 76,7 \text{ [mm]}$$

Průhyb konstrukce se výrazně zlepšil, přesto ještě nevyhovuje podmínce pro II. MS. Z účelu konstrukce však víme, že větší průhyb vazníku použitelnost konstrukce neovlivňuje, tudíž nesplnění podmínky nevádí.

Je třeba však vzít v úvahu ještě jedno hledisko omezování průhybů na střešních konstrukcích, a to odtok dešťové vody. Při překročení limitního průhybů by mohlo docházet k nedokonalému odtoku vody ze střešní konstrukce. Tomuto problému ale u řešené konstrukce předchází samotný tvar střechy, kde jsou nosníky ve spádu dostatečném pro odvodnění. Menší překročení limitního průhybu tedy nebude pro tuto konstrukci omezující a nemusíme neekonomicky zvětšovat průřez vazníku.



### 3.4. Vzpěry – vzpínadlo

#### 3.4.1. Materiálové charakteristiky

Třída pevnosti dřeva: **C24**

Pevnost v ohybu:	$f_{m,g,k} = 24 \text{ N/mm}^2$
Pevnost v tahu	
- rovnoběžně s vlákny:	$f_{t,0,g,k} = 14 \text{ N/mm}^2$
- kolmo k vláknům:	$f_{t,90,g,k} = 0,4 \text{ N/mm}^2$
Pevnost v tlaku	
- rovnoběžně s vlákny:	$f_{c,0,g,k} = 21 \text{ N/mm}^2$
- kolmo k vláknům:	$f_{c,90,g,k} = 2,5 \text{ N/mm}^2$
Pevnost ve smyku:	$f_{v,g,k} = 4 \text{ N/mm}^2$
Modul pružnosti:	$E_{0,g,mean} = 11 \text{ kN/mm}^2$ $E_{0,g,05} = 7,4 \text{ kN/mm}^2$
Hustota:	$\rho_{g,k} = 420 \text{ kg/m}^3$

#### 3.4.2. Návrhové pevnosti materiálu

Ohybová pevnost:

$$f_{m,g,d} = k_{mod} \cdot \frac{f_{m,k}}{\gamma_m} = 0,9 \cdot \frac{24}{1,3} = 16,62 \text{ MPa}$$

Pevnost v tahu – rovnoběžně s vlákny:

$$f_{t,0,g,d} = k_{mod} \cdot \frac{f_{t,0,g,k}}{\gamma_m} = 0,9 \cdot \frac{14}{1,3} = 9,69 \text{ MPa}$$

Pevnost v tahu – kolmo k vláknům:

$$f_{t,90,g,d} = k_{mod} \cdot \frac{f_{t,90,g,k}}{\gamma_m} = 0,9 \cdot \frac{0,4}{1,3} = 0,28 \text{ MPa}$$

Pevnost v tlaku – rovnoběžně s vlákny:

$$f_{c,0,g,d} = k_{mod} \cdot \frac{f_{c,0,g,k}}{\gamma_m} = 0,9 \cdot \frac{21}{1,3} = 14,54 \text{ MPa}$$

Pevnost v tlaku – kolmo k vláknům:

$$f_{c,90,g,d} = k_{mod} \cdot \frac{f_{c,90,g,k}}{\gamma_m} = 0,9 \cdot \frac{2,5}{1,3} = 1,73 \text{ MPa}$$

Smyková pevnost:

$$f_{v,g,d} = k_{mod} \cdot \frac{f_{v,g,k}}{\gamma_m} = 0,9 \cdot \frac{4}{1,3} = 2,77 \text{ MPa}$$

krátkodobé  
zatížení  
třída provozu: 2

$k_{mod} = 0,9$

$\gamma_m = 1,3$ , pro  
rostlé dřevo

### 3.4.3. Průřezové charakteristiky, geometrická data

předběžný návrh: 100/100 mm

$$b = 100 \text{ mm}$$

$$h = 100 \text{ mm}$$

$$A = 10\,000 \text{ mm}^2$$

$$I_y = 8,3 \cdot 10^6 \text{ mm}^4$$

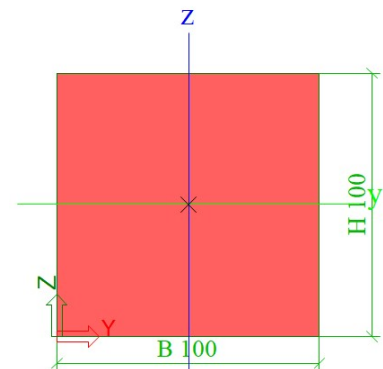
$$I_z = 8,3 \cdot 10^6 \text{ mm}^4$$

$$W_y = 0,17 \cdot 10^6 \text{ mm}^3$$

$$W_z = 0,17 \cdot 10^6 \text{ mm}^3$$

$$i_y = 28,87 \text{ mm}$$

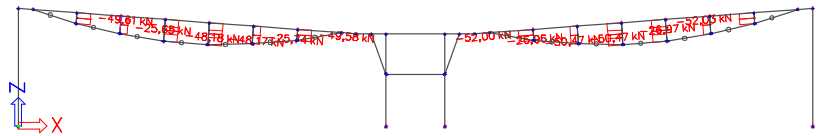
$$i_z = 28,87 \text{ mm}$$



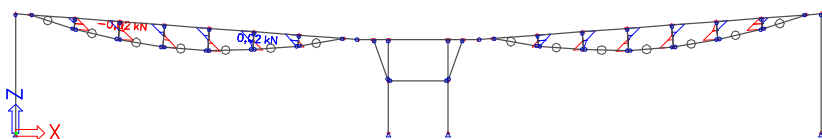
### 3.4.4. Zatížení prvku, vnitřní síly a deformace

Zatížení vzpěr je patrné ze zatěžovacích stavů 2D modelu konstrukce (viz kapitola 2.3.: Zatěžovací stavy a kombinace). Ve schématech jsou znázorněny pouze globální extrémy.

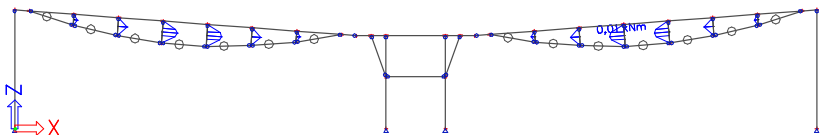
Normálové síly – N (kN)



Posouvající síly –  $V_z$  (kN)



Ohybové momenty –  $M_y$  (kNm)



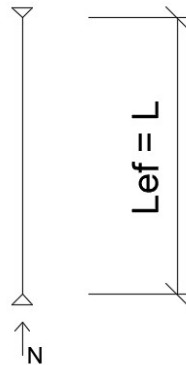
Z hodnot vnitřních sil je zřejmé, že posouvající síly a ohybové momenty nejsou pro vzpěry rozhodující. Proto posoudíme vzpěry pouze na vzpěrný tlak.

### 3.4.5. Posouzení mezního stavu únosnosti

#### Vzpěrný tlak

Všechny vzpěry mají čtvercový průřez a jsou stabilizovány pouze v napojení k vazníku. Proto není nutno výpočet rozdělovat na vybočení z roviny a v rovině.

V přípoji k hornímu vazníku předpokládáme kloubové uložení, proto vztah pro vzpěrnou délku dle následujícího obrázku.



Obecně – pro i-tý prvek:

$$\sigma_{c,0,d,i} = \frac{N_{Ed,c,i}}{A}$$

$$\lambda_i = \frac{L_{cr,i}}{i_i}$$

Kritické napětí:

$$\sigma_{c,crit,i} = \pi^2 \cdot \frac{E_{0,05}}{\lambda_i^2}$$

Štíhlostní poměr:

$$\lambda_{rel,i} = \sqrt{\frac{f_{c,0,k}}{\sigma_{c,crit,i}}}$$

$\beta_c = 0,2$  (pro  
rostlé dřevo)

$$k_i = 0,5 \cdot (1 + \beta_c \cdot (\lambda_{rel,i} - 0,3) + \lambda_{rel,i}^2)$$

$$k_{c,i} = \frac{1}{k_i + \sqrt{k_i^2 - \lambda_{rel,i}^2}}$$



Posouzení:

$$\frac{\sigma_{c,0,d,i}}{k_{c,i} \cdot f_{c,0,d}} \leq 1$$

Pro velké množství vzpěr byla vytvořena tabulka, kde jsou shrnuty hodnoty dle výše uvedených vzorců:

vzpěra	$N_{ed}$ [kN]	$\sigma_{c,0,d}$ [MPa]	L [mm]	$L_{cr}$ [mm]	$\lambda$ [-]	$\sigma_{c,cr}$ [MPa]	$\lambda_{rel}$ [-]	k [-]	$k_c$ [-]	posouzení	
1	49,61	4,96	750	750	25,98	108,20	0,37	0,57	0,98	0,35	VYHOVUJE
2	25,65	2,57	1200	1200	41,57	42,27	0,59	0,70	0,92	0,19	VYHOVUJE
3	48,18	4,82	1500	1500	51,96	27,05	0,73	0,81	0,86	0,38	VYHOVUJE
4	48,17	4,82	1500	1500	51,96	27,05	0,73	0,81	0,86	0,38	VYHOVUJE
5	25,74	2,57	1200	1200	41,57	42,27	0,59	0,70	0,92	0,19	VYHOVUJE
6	49,58	4,96	750	750	25,98	108,20	0,37	0,57	0,98	0,35	VYHOVUJE
7	52,00	5,20	750	750	25,98	108,20	0,37	0,57	0,98	0,36	VYHOVUJE
8	26,96	2,70	1200	1200	41,57	42,27	0,59	0,70	0,92	0,20	VYHOVUJE
9	50,47	5,05	1500	1500	51,96	27,05	0,73	0,81	0,86	0,40	VYHOVUJE
10	50,47	5,05	1500	1500	51,96	27,05	0,73	0,81	0,86	0,40	VYHOVUJE
11	26,97	2,70	1200	1200	41,57	42,27	0,59	0,70	0,92	0,20	VYHOVUJE
12	52,03	5,20	750	750	25,98	108,20	0,37	0,57	0,98	0,36	VYHOVUJE

Tabulka 8: Posouzení únosnosti vzpěrek

### VZPĚRY VYHOVUJÍ NA 1. MS

#### 3.4.6. Posouzení mezního stavu použitelnosti

Průhyb vzpěrek nemá na použitelnost konstrukce žádné omezující účinky, proto není třeba posuzovat mezní stav použitelnosti.





### 3.5. Rozpěra mezi středovými sloupy

#### 3.5.1. Materiálové charakteristiky

Třída pevnosti dřeva: **C24**

Pevnost v ohybu:	$f_{m,g,k} = 24 \text{ N/mm}^2$
Pevnost v tahu	
- rovnoběžně s vlákny:	$f_{t,0,g,k} = 14 \text{ N/mm}^2$
- kolmo k vláknům:	$f_{t,90,g,k} = 0,4 \text{ N/mm}^2$
Pevnost v tlaku	
- rovnoběžně s vlákny:	$f_{c,0,g,k} = 21 \text{ N/mm}^2$
- kolmo k vláknům:	$f_{c,90,g,k} = 2,5 \text{ N/mm}^2$
Pevnost ve smyku:	$f_{v,g,k} = 4 \text{ N/mm}^2$
Modul pružnosti:	$E_{0,g,mean} = 11 \text{ kN/mm}^2$
	$E_{0,g,05} = 7,4 \text{ kN/mm}^2$
Hustota:	$\rho_{g,k} = 420 \text{ kg/m}^3$

#### 3.5.2. Návrhové pevnosti materiálů

Ohybová pevnost:

$$f_{m,g,d} = k_{mod} \cdot \frac{f_{m,k}}{\gamma_m} = 0,9 \cdot \frac{24}{1,3} = 16,62 \text{ MPa}$$

Pevnost v tahu – rovnoběžně s vlákny:

$$f_{t,0,g,d} = k_{mod} \cdot \frac{f_{t,0,g,k}}{\gamma_m} = 0,9 \cdot \frac{14}{1,3} = 9,69 \text{ MPa}$$

Pevnost v tahu – kolmo k vláknům:

$$f_{t,90,g,d} = k_{mod} \cdot \frac{f_{t,90,g,k}}{\gamma_m} = 0,9 \cdot \frac{0,4}{1,3} = 0,28 \text{ MPa}$$

Pevnost v tlaku – rovnoběžně s vlákny:

$$f_{c,0,g,d} = k_{mod} \cdot \frac{f_{c,0,g,k}}{\gamma_m} = 0,9 \cdot \frac{21}{1,3} = 14,54 \text{ MPa}$$

Pevnost v tlaku – kolmo k vláknům:

$$f_{c,90,g,d} = k_{mod} \cdot \frac{f_{c,90,g,k}}{\gamma_m} = 0,9 \cdot \frac{2,5}{1,3} = 1,73 \text{ MPa}$$

Smyková pevnost:

$$f_{v,g,d} = k_{mod} \cdot \frac{f_{v,g,k}}{\gamma_m} = 0,9 \cdot \frac{4}{1,3} = 2,77 \text{ MPa}$$

krátkodobé  
zatížení  
třída provozu: 2

$k_{mod} = 0,9$

$\gamma_m = 1,3$ , pro  
rostlé dřevo

### 3.5.3. Průřezové charakteristiky, geometrická data

předběžný návrh: 140/180 mm

$$b = 140 \text{ mm}$$

$$h = 180 \text{ mm}$$

$$A = 25\,200 \text{ mm}^2$$

$$I_y = 68,04 \cdot 10^6 \text{ mm}^4$$

$$I_z = 41,16 \cdot 10^6 \text{ mm}^4$$

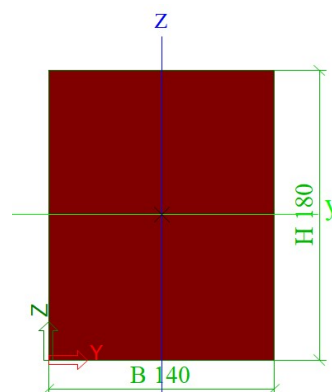
$$W_y = 0,756 \cdot 10^6 \text{ mm}^3$$

$$W_z = 0,588 \cdot 10^6 \text{ mm}^3$$

$$i_y = 51,96 \text{ mm}$$

$$i_z = 40,41 \text{ mm}$$

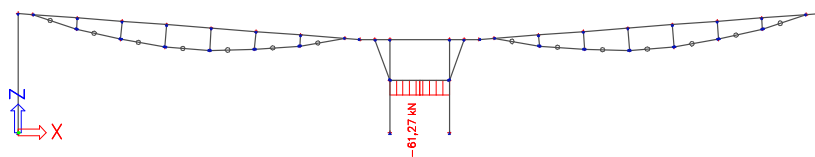
$$\text{délka} = 4 \text{ m}$$



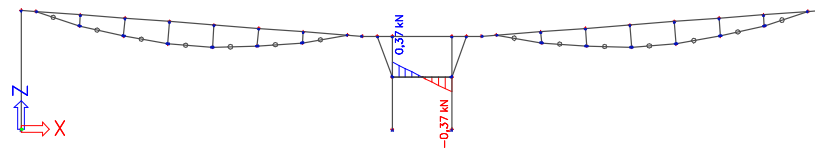
### 3.5.4. Zatížení prvku, vnitřní síly a deformace

Zatížení rozpěry je patrné ze zatěžovacích stavů 2D modelu konstrukce (viz kapitola 2.3.: Zatěžovací stavy a kombinace). Ve schématech jsou znázorněny pouze globální extrémy.

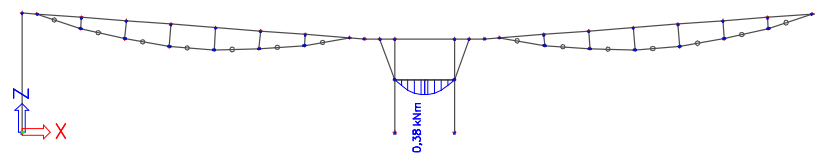
Normálové síly – N (kN)



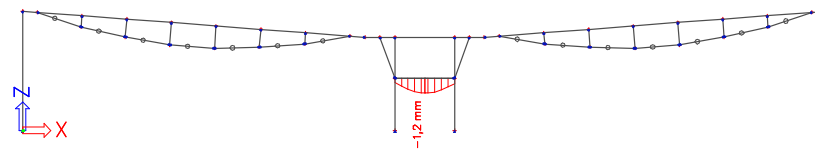
Posouvající síly –  $V_z$  (kN)



Ohybové momenty –  $M_y$  (kNm)



Průhyby –  $w_z$  (mm)

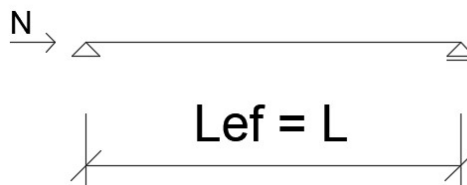




Z průběhů vnitřních sil opět vidíme, že namáhání posouvajícími silami a ohybovými momenty není pro konstrukci rozhodující. Proto je rozpěru nutné posoudit také jen na vzpěrný tlak, tentokrát však v obou směrech.

### 3.5.5. Posouzení mezního stavu únosnosti

Vstupní hodnoty:  
 $N_{Ed,c} = 61,27 \text{ kN}$



#### Vzpěrný tlak

$$\sigma_{c,0,d} = \frac{N_{Ed,c}}{A} = \frac{61,27 \cdot 10^3}{25\,200} = 2,43 \text{ MPa}$$

#### A) v rovině rozpěry

$$\lambda_y = \frac{L_{cr,y}}{i_y} = \frac{4000}{51,96} = 76,98$$

Kritické napětí:

$$\sigma_{c,crit} = \pi^2 \cdot \frac{E_{0,05}}{\lambda_y^2} = \pi^2 \cdot \frac{7400}{76,98^2} = 12,32 \text{ MPa}$$

Štíhlostní poměr:

$$\lambda_{rel,y} = \sqrt{\frac{f_{c,0,k}}{\sigma_{c,crit}}} = \sqrt{\frac{21}{12,32}} = 1,31$$

$\beta_c = 0,2$  (pro  
rostlé dřevo)

$$k_y = 0,5 \cdot (1 + \beta_c \cdot (\lambda_{rel,y} - 0,3) + \lambda_{rel,y}^2)$$

$$k_y = 0,5 \cdot (1 + 0,2 \cdot (1,31 - 0,3) + 1,31^2)$$

$$k_y = 1,46$$



$$k_{c,y} = \frac{1}{k_y + \sqrt{k_y^2 - \lambda_{rel}^2}}$$

$$k_{c,y} = \frac{1}{1,46 + \sqrt{1,46^2 - 1,31^2}}$$

$$k_{c,y} = 0,48$$

Posouzení:

$$\frac{\sigma_{c,0,d}}{k_{c,y} \cdot f_{c,0,d}} \leq 1$$

$$\frac{3,14}{0,48 \cdot 14,54} \leq 1$$

$$0,45 \leq 1$$

-> VYHOVUJE

B) z roviny rozpěry

$$\lambda_z = \frac{L_{cr,z}}{i_z} = \frac{4000}{40,41} = 98,99$$

Kritické napětí:

$$\sigma_{c,crit} = \pi^2 \cdot \frac{E_{0,05}}{\lambda_z^2} = \pi^2 \cdot \frac{7400}{98,99^2} = 7,45 \text{ MPa}$$

Štíhlostní poměr:

$$\lambda_{rel,z} = \sqrt{\frac{f_{c,0,k}}{\sigma_{c,crit}}} = \sqrt{\frac{21}{7,45}} = 1,68$$

$\beta_c = 0,2$  (pro  
rostlé dřevo)

$$k_z = 0,5 \cdot (1 + \beta_c \cdot (\lambda_{rel,z} - 0,3) + \lambda_{rel,z}^2)$$

$$k_z = 0,5 \cdot (1 + 0,2 \cdot (1,68 - 0,3) + 1,68^2)$$

$$k_z = 2,05$$

$$k_{c,z} = \frac{1}{k_z + \sqrt{k_z^2 - \lambda_{rel,z}^2}}$$

$$k_{c,z} = \frac{1}{2,05 + \sqrt{2,05^2 - 1,68^2}}$$

$$k_{c,z} = 0,31$$

Posouzení:

$$\frac{\sigma_{c,0,d}}{k_{c,z} \cdot f_{c,0,d}} \leq 1$$

$$\frac{3,14}{0,31 \cdot 14,54} \leq 1$$

$$0,7 \leq 1$$

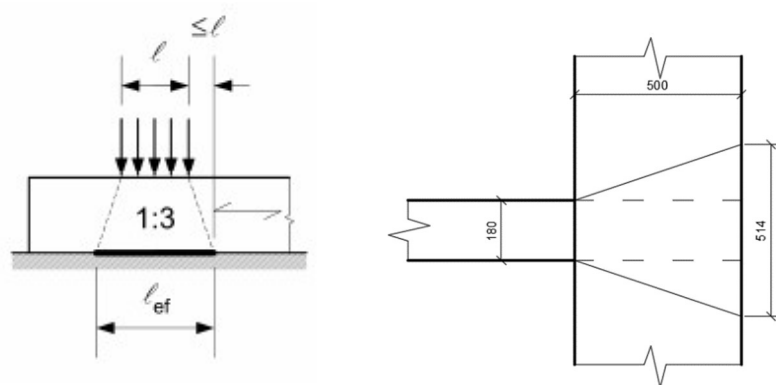
-> VYHOVUJE

Otlačení

$$\sigma_{c,0,d} = \frac{N_{Ed,c}}{A} = \frac{61,27 \cdot 10^3}{25\,200} = 2,43 \text{ MPa}$$

$$k_{c,90} = \frac{l_{ef}}{l}$$

dle následujícího obrázku



Obrázek 13: Otlačení, rozpěra - sloup

$$k_{c,90} = \frac{l_{ef}}{l} = \frac{514}{180} = 2,86$$



Posouzení:

$$\sigma_{c,0,d} \leq k_{c,90} \cdot f_{c,90,d}$$

$$2,43 \leq 2,86 \cdot 1,73$$

$$2,43 \leq 4,95 \text{ [MPa]} \quad \rightarrow \text{VYHOVUJE}$$

**ROZPĚRA VYHOVUJE NA 1. MS**

### 3.5.6. Posouzení mezního stavu použitelnosti

Vhledem k vnitřnímu umístění rozpěry na ni působí pouze stálé zatížení vlastní tíhou. Průhyb od stálého zatížení je vidět na schématu konstrukce v kapitole 3.5.4., z kombinační rovnice tedy vypadnou všechny ostatní členy.

$$u_{inst} = \sum_{j \geq 1} G_{k,j} + Q_{k,1} + \sum_{i \geq 1} \psi_{0,i} \cdot Q_{k,i}$$

$$u_{inst} = 1,2 \text{ mm}$$

$$u_{inst,lim} = \frac{l}{300} = \frac{4000}{300} = 13,3 \text{ mm}$$

Posouzení:

$$u_{inst} \leq u_{inst,lim}$$

$$1,2 \leq 13,3 \text{ [mm]} \quad \rightarrow \text{VYHOVUJE}$$

**ROZPĚRA VYHOVUJE NA 2. MS**



### 3.6. Středové vzpěry

#### 3.6.1. Materiálové charakteristiky

Třída pevnosti dřeva: **C24**

Pevnost v ohybu:	$f_{m,g,k} = 24 \text{ N/mm}^2$
Pevnost v tahu	
- rovnoběžně s vlákny:	$f_{t,0,g,k} = 14 \text{ N/mm}^2$
- kolmo k vláknům:	$f_{t,90,g,k} = 0,4 \text{ N/mm}^2$
Pevnost v tlaku	
- rovnoběžně s vlákny:	$f_{c,0,g,k} = 21 \text{ N/mm}^2$
- kolmo k vláknům:	$f_{c,90,g,k} = 2,5 \text{ N/mm}^2$
Pevnost ve smyku:	$f_{v,g,k} = 4 \text{ N/mm}^2$
Modul pružnosti:	$E_{0,g,\text{mean}} = 11 \text{ kN/mm}^2$ $E_{0,g,05} = 7,4 \text{ kN/mm}^2$
Hustota:	$\rho_{g,k} = 420 \text{ kg/m}^3$

#### 3.6.2. Návrhové pevnosti materiálů

Ohybová pevnost:

$$f_{m,g,d} = k_{mod} \cdot \frac{f_{m,k}}{\gamma_m} = 0,9 \cdot \frac{24}{1,3} = 16,62 \text{ MPa}$$

Pevnost v tahu – rovnoběžně s vlákny:

$$f_{t,0,g,d} = k_{mod} \cdot \frac{f_{t,0,g,k}}{\gamma_m} = 0,9 \cdot \frac{14}{1,3} = 9,69 \text{ MPa}$$

Pevnost v tahu – kolmo k vláknům:

$$f_{t,90,g,d} = k_{mod} \cdot \frac{f_{t,90,g,k}}{\gamma_m} = 0,9 \cdot \frac{0,4}{1,3} = 0,28 \text{ MPa}$$

Pevnost v tlaku – rovnoběžně s vlákny:

$$f_{c,0,g,d} = k_{mod} \cdot \frac{f_{c,0,g,k}}{\gamma_m} = 0,9 \cdot \frac{21}{1,3} = 14,54 \text{ MPa}$$

Pevnost v tlaku – kolmo k vláknům:

$$f_{c,90,g,d} = k_{mod} \cdot \frac{f_{c,90,g,k}}{\gamma_m} = 0,9 \cdot \frac{2,5}{1,3} = 1,73 \text{ MPa}$$

Smyková pevnost:

$$f_{v,g,d} = k_{mod} \cdot \frac{f_{v,g,k}}{\gamma_m} = 0,9 \cdot \frac{4}{1,3} = 2,77 \text{ MPa}$$

krátkodobé  
zatížení  
třída provozu: 2

$k_{mod} = 0,9$

$\gamma_m = 1,3$ , pro  
rostlé dřevo

### 3.6.3. Průřezové charakteristiky, geometrická data

předběžný návrh: 380/220 mm

$b = 380 \text{ mm}$

$h = 220 \text{ mm}$

$A = 83\,600 \text{ mm}^2$

$I_y = 337,2 \cdot 10^6 \text{ mm}^4$

$I_z = 1\,006 \cdot 10^6 \text{ mm}^4$

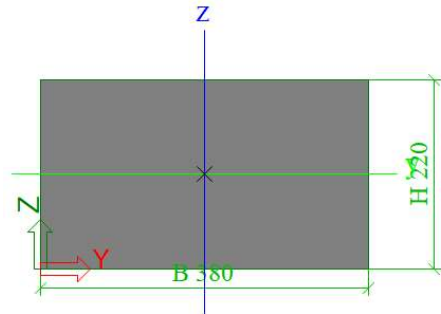
$W_y = 3,06 \cdot 10^6 \text{ mm}^3$

$W_z = 5,29 \cdot 10^6 \text{ mm}^3$

$i_y = 63,51 \text{ mm}$

$i_z = 109,7 \text{ mm}$

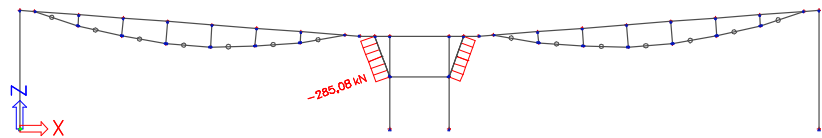
délka = 3 m



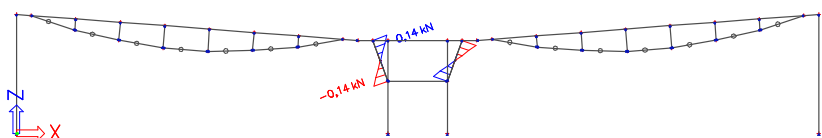
### 3.6.4. Zatížení prvku, vnitřní síly a deformace

Zatížení vzpěr je patrné ze zatěžovacích stavů 2D modelu konstrukce (viz kapitola 2.3.: Zatěžovací stavy a kombinace). Ve schématech jsou znázorněny pouze globální extrémy.

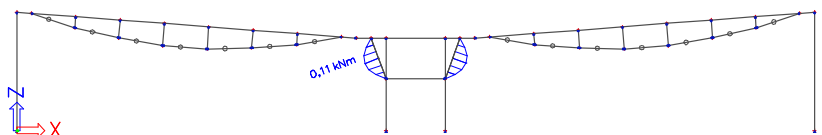
Normálové síly – N (kN)



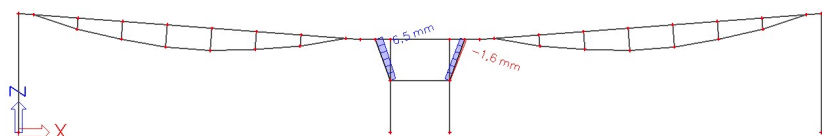
Posouvající síly –  $V_z$  (kN)



Ohybové momenty –  $M_y$  (kNm)



Průhyby –  $w_z$  (mm)



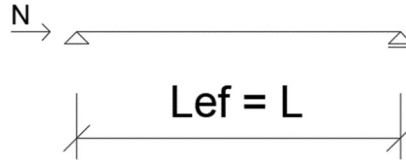




Vstupní hodnoty:  
 $N_{Ed,c} = 285,08 \text{ kN}$

Z vnitřních sil opět vidíme, že rozhodující je vzpěrný tlak. Hodnoty ohybového momentu a posouvajících sil jsou pro prvek zanedbatelné.

### 3.6.5. Posouzení mezního stavu únosnosti



#### Vzpěrný tlak

$$\sigma_{c,0,d} = \frac{N_{Ed,c}}{A} = \frac{285,08 \cdot 10^3}{83\,600} = 3,4 \text{ MPa}$$

#### A) v rovině vzpěry

$$\lambda_y = \frac{L_{cr,y}}{i_y} = \frac{3000}{63,51} = 47,24$$

Kritické napětí:

$$\sigma_{c,crit} = \pi^2 \cdot \frac{E_{0,05}}{\lambda_y^2} = \pi^2 \cdot \frac{7400}{47,24^2} = 32,73 \text{ MPa}$$

Štíhlostní poměr:

$$\lambda_{rel,y} = \sqrt{\frac{f_{c,0,k}}{\sigma_{c,crit}}} = \sqrt{\frac{21}{32,73}} = 0,8$$

$$k_y = 0,5 \cdot (1 + \beta_c \cdot (\lambda_{rel,y} - 0,3)) + \lambda_{rel,y}^2$$

$$k_y = 0,5 \cdot (1 + 0,2 \cdot (0,8 - 0,3)) + 0,8^2$$

$$k_y = 0,87$$

$$k_{c,y} = \frac{1}{k_y + \sqrt{k_y^2 - \lambda_{rel}^2}}$$

$$k_{c,y} = \frac{1}{0,87 + \sqrt{0,87^2 - 0,8^2}}$$

$$k_{c,y} = 0,83$$



Posouzení:

$$\frac{\sigma_{c,0,d}}{k_{c,y} \cdot f_{c,0,d}} \leq 1$$

$$\frac{7,2}{0,83 \cdot 14,54} \leq 1$$

$$0,6 \leq 1$$

-> **VYHOVUJE**B) z roviny rozpěry

$$\lambda_z = \frac{L_{cr,z}}{i_z} = \frac{3000}{109,7} = 27,35$$

Kritické napětí:

$$\sigma_{c,crit} = \pi^2 \cdot \frac{E_{0,05}}{\lambda_z^2} = \pi^2 \cdot \frac{7400}{27,35^2} = 97,6 \text{ MPa}$$

Štíhlostní poměr:

$$\lambda_{rel,z} = \sqrt{\frac{f_{c,0,k}}{\sigma_{c,crit}}} = \sqrt{\frac{21}{97,6}} = 0,46$$

$$k_z = 0,5 \cdot (1 + \beta_c \cdot (\lambda_{rel,z} - 0,3)) + \lambda_{rel,z}^2$$

$$k_z = 0,5 \cdot (1 + 0,2 \cdot (0,46 - 0,3)) + 0,46^2$$

$$k_z = 0,62$$

$$k_{c,z} = \frac{1}{k_z + \sqrt{k_z^2 - \lambda_{rel,z}^2}}$$

$$k_{c,z} = \frac{1}{0,62 + \sqrt{0,62^2 - 0,46^2}}$$

$$k_{c,z} = 0,97$$



Posouzení:

$$\frac{\sigma_{c,0,d}}{k_{c,z} \cdot f_{c,0,d}} \leq 1$$

$$\frac{7,2}{0,97 \cdot 14,54} \leq 1$$

$$0,51 \leq 1$$

-> **VYHOVUJE**

Otlačení

Otlačení bude posouzeno v rámci spoje vzpěry a sloupku (viz kapitola 5.1.)

### VZPĚRA VYHOVUJE NA 1. MS

#### 3.6.6. Posouzení mezního stavu použitelnosti

Průhyby:

od stálého zatížení:  $u_{z,g,inst} = 0,9 \text{ mm}$  (ZS1 + ZS2)

od užitečného zatížení:  $u_{z,q,inst} = 1,3 \text{ mm}$  (ZS3b)

od zatížení sněhem:  $u_{z,s,inst} = 0,6 \text{ mm}$  (ZS4)

od zatížení větrem:  $u_{z,w,inst} = 3,7 \text{ mm}$  (ZS5b)

$$u_{inst} = \sum_{j \geq 1} G_{k,j} + Q_{k,1} + \sum_{i \geq 1} \psi_{0,i} \cdot Q_{k,i}$$

$$u_{inst} = 0,9 + 1,3 + 0,6 + 3,7 + 1,3 \cdot 0 + 0,6 \cdot 0 + 3,7 \cdot 0$$

$$u_{inst} = 6,5 \text{ mm}$$

$$u_{inst,lim} = \frac{l}{300} = \frac{3000}{300} = 10 \text{ mm}$$

Posouzení:

$$u_{inst} \leq u_{inst,lim}$$

$$6,5 \leq 10 \text{ [mm]}$$

-> **VYHOVUJE**

### VZPĚRA VYHOVUJE NA 2. MS

### 3.7. Ocelové táhlo

#### 3.7.1. Materiálové charakteristiky

Třída pevnosti oceli: **S355**

Pevnost v tahu:	$f_{y,k} = 355 \text{ N/mm}^2$
Modul pružnosti:	$E = 210\,000 \text{ N/mm}^2$
Hustota:	$\rho_{g,k} = 7\,850 \text{ kg/m}^3$

#### 3.7.2. Návrhové pevnosti materiálu

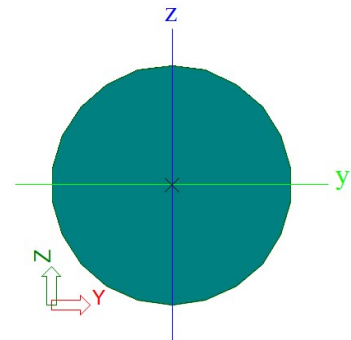
Pevnost v tahu – rovnoběžně s vlákny:

$$f_{y,d} = \frac{f_{y,k}}{\gamma_m} = \frac{355}{1} = 355 \text{ MPa}$$

#### 3.7.3. Průřezové charakteristiky, geometrická data

předběžný návrh: Protah P48, ocel S355

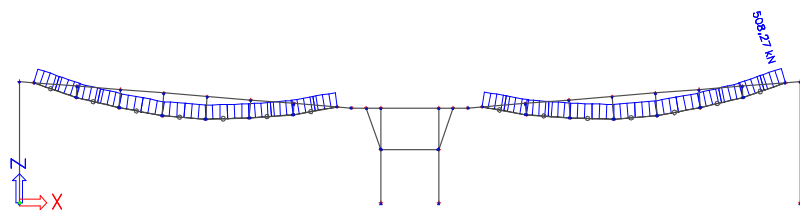
$d = 48 \text{ mm}$
$A = 1810 \text{ mm}^2$
$I_y = 0,26 \cdot 10^6 \text{ mm}^4$
$I_z = 0,26 \cdot 10^6 \text{ mm}^4$
$W_y = 0,01 \cdot 10^6 \text{ mm}^3$
$W_z = 0,01 \cdot 10^6 \text{ mm}^3$
$i_y = 11,99 \text{ mm}$
$i_z = 11,99 \text{ mm}$



#### 3.7.4. Zatížení prvku, vnitřní síly a deformace

Zatížení táhla je patrné ze zatěžovacích stavů 2D modelu konstrukce (viz kapitola 2.3.: Zatěžovací stavy a kombinace). Ve schématu jsou znázorněny pouze globální extrémy.

Normálové síly – N (kN)



Ostatní vnitřní síly jsou nulové, posoudíme tedy pouze na tah.



### 3.7.5. Posouzení mezního stavu únosnosti

#### Tah

Vstupní hodnoty:  
 $N_{Ed,t} = 508,27 \text{ kN}$

$$\sigma_{t,d} = \frac{N_{Ed,t}}{A} = \frac{508,27 \cdot 10^3}{\pi \cdot \frac{48^2}{4}} = 280,9 \text{ MPa}$$

Posouzení:

$$\sigma_{t,d} \leq f_{y,d}$$

$$280,9 \leq 355 \text{ [MPa]} \quad \rightarrow \text{VYHOVUJE}$$

### 3.7.6. Posouzení mezního stavu použitelnosti

U ocelového táhla není žádná použitelnost rozhodující. Není třeba posuzovat II. MS.



### 3.8. Štítové sloupky

#### 3.8.1. Materiálové charakteristiky

Třída pevnosti dřeva: **C24**

Pevnost v ohybu:	$f_{m,g,k} = 24 \text{ N/mm}^2$
Pevnost v tahu	
- rovnoběžně s vlákny:	$f_{t,0,g,k} = 14 \text{ N/mm}^2$
- kolmo k vláknům:	$f_{t,90,g,k} = 0,4 \text{ N/mm}^2$
Pevnost v tlaku	
- rovnoběžně s vlákny:	$f_{c,0,g,k} = 21 \text{ N/mm}^2$
- kolmo k vláknům:	$f_{c,90,g,k} = 2,5 \text{ N/mm}^2$
Pevnost ve smyku:	$f_{v,g,k} = 4 \text{ N/mm}^2$
Modul pružnosti:	$E_{0,g,\text{mean}} = 11 \text{ kN/mm}^2$ $E_{0,g,05} = 7,4 \text{ kN/mm}^2$
Hustota:	$\rho_{g,k} = 420 \text{ kg/m}^3$

#### 3.8.2. Návrhové pevnosti

Ohybová pevnost:

$$f_{m,g,d} = k_{mod} \cdot \frac{f_{m,k}}{\gamma_m} = 0,9 \cdot \frac{24}{1,3} = 16,62 \text{ MPa}$$

Pevnost v tahu – rovnoběžně s vlákny:

$$f_{t,0,g,d} = k_{mod} \cdot \frac{f_{t,0,g,k}}{\gamma_m} = 0,9 \cdot \frac{14}{1,3} = 9,69 \text{ MPa}$$

Pevnost v tahu – kolmo k vláknům:

$$f_{t,90,g,d} = k_{mod} \cdot \frac{f_{t,90,g,k}}{\gamma_m} = 0,9 \cdot \frac{0,4}{1,3} = 0,28 \text{ MPa}$$

Pevnost v tlaku – rovnoběžně s vlákny:

$$f_{c,0,g,d} = k_{mod} \cdot \frac{f_{c,0,g,k}}{\gamma_m} = 0,9 \cdot \frac{21}{1,3} = 14,54 \text{ MPa}$$

Pevnost v tlaku – kolmo k vláknům:

$$f_{c,90,g,d} = k_{mod} \cdot \frac{f_{c,90,g,k}}{\gamma_m} = 0,9 \cdot \frac{2,5}{1,3} = 1,73 \text{ MPa}$$

Smyková pevnost:

$$f_{v,g,d} = k_{mod} \cdot \frac{f_{v,g,k}}{\gamma_m} = 0,9 \cdot \frac{4}{1,3} = 2,77 \text{ MPa}$$

krátkodobé  
zatížení  
třída provozu: 2

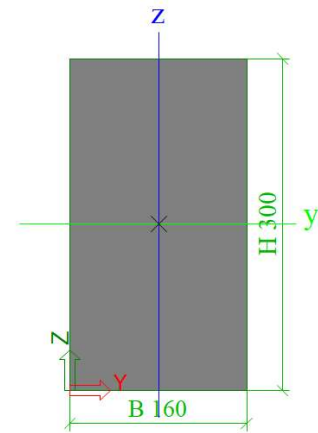
$k_{mod} = 0,9$

$\gamma_m = 1,3$ , pro  
rostlé dřevo

### 3.8.3. Průřezové charakteristiky, geometrická data

předběžný návrh: 160/300 mm

$b = 160 \text{ mm}$   
 $h = 300 \text{ mm}$   
 $A = 48\,000 \text{ mm}^2$   
 $I_y = 360 \cdot 10^6 \text{ mm}^4$   
 $I_z = 102,4 \cdot 10^6 \text{ mm}^4$   
 $W_y = 2,4 \cdot 10^6 \text{ mm}^3$   
 $W_z = 1,28 \cdot 10^6 \text{ mm}^3$   
 $i_y = 86,6 \text{ mm}$   
 $i_z = 46,19 \text{ mm}$   
délka = 8 m



### 3.8.4. Zatížení prvku, vnitřní síly a deformace

Zatížení skladbou stěny:  $g_{k, \text{stěna}} = 2,414 \text{ kN/m}$   
+ vl. tíha automaticky v softwaru SCIA  
(viz kapitola 2.1.2.2.)

ZŠ – zatěžovací  
šířka sloupku

Zatížení větrnou plochou:  $w_{D,k} = 0,427 \text{ kN/m}^2$

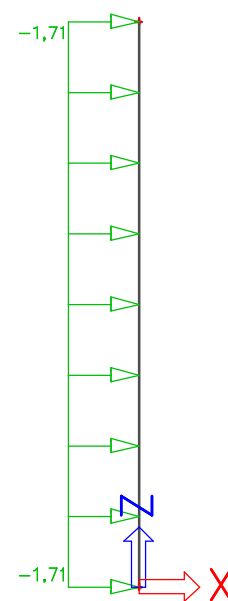
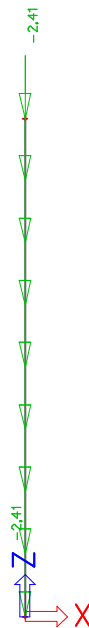
$$W_D = 0,427 \cdot Z\check{S}$$

$$W_D = 0,427 \cdot 4 = 1,71 \text{ kN/m}$$

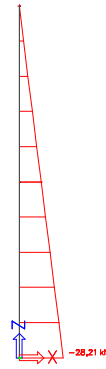
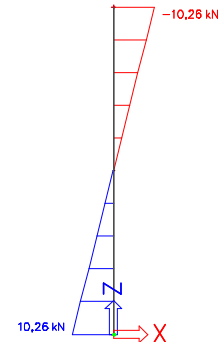
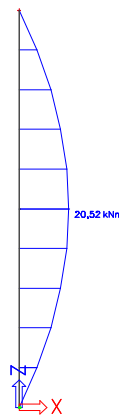
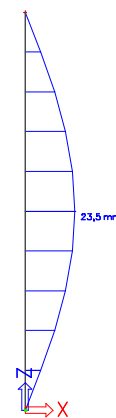
ZS1 – vl. tíha

ZS2 – ostatní stálé

ZS3 – vítr



Normálové síly – N (kN)

Posouvající síly – V<sub>z</sub> (kN)Ohybové momenty – M<sub>y</sub> (kNm)Průhyby – w<sub>z</sub> (mm)

### 3.8.5. Posouzení mezního stavu únosnosti

Zatížení větrem na štítový sloupek působí pouze k ose y, proto k této ose posoudíme kombinaci vzpěrného tlaku a ohybu. K ose z posoudíme pouze vzpěrný tlak, protože v tomto směru ohýbaný není.

#### Vzpěrný tlak

$$\sigma_{c,0,d} = \frac{N_{Ed,c}}{A} = \frac{28,21 \cdot 10^3}{48\,000} = 0,59 \text{ MPa}$$

$$\sigma_{m,y,d} = \frac{M_{y,Ed}}{W_y} = \frac{20,52 \cdot 10^6}{2,4 \cdot 10^6} = 8,55 \text{ MPa}$$

#### A) v rovině sloupu (k ose z)

$$\lambda_z = \frac{L_{cr,z}}{i_z} = \frac{8\,000}{46,19} = 173,2$$





Kritické napětí:

$$\sigma_{c,crit} = \pi^2 \cdot \frac{E_{0,05}}{\lambda_z^2} = \pi^2 \cdot \frac{7\,400}{173,2^2} = 2,43 \text{ MPa}$$

Štíhlostní poměr:

$$\lambda_{rel,z} = \sqrt{\frac{f_{c,0,k}}{\sigma_{c,crit}}} = \sqrt{\frac{21}{2,43}} = 2,94$$

$$k_z = 0,5 \cdot (1 + \beta_c \cdot (\lambda_{rel,z} - 0,3) + \lambda_{rel,z}^2)$$

$$k_z = 0,5 \cdot (1 + 0,2 \cdot (2,94 - 0,3) + 2,94^2)$$

$$k_z = 5,09$$

$$k_{c,z} = \frac{1}{k_z + \sqrt{k_z^2 - \lambda_{rel,z}^2}}$$

$$k_{c,z} = \frac{1}{5,09 + \sqrt{5,09^2 - 2,94^2}}$$

$$k_{c,z} = 0,11$$

Posouzení:

$$\frac{\sigma_{c,0,d}}{k_{c,z} \cdot f_{c,0,d}} \leq 1$$

$$\frac{0,59}{0,11 \cdot 14,54} \leq 1$$

$$0,37 \leq 1$$

-> **VYHOVUJE**

Kombinace ohybu a tlaku

$$\lambda_y = \frac{L_{ef}}{i_y} = \frac{8\,000}{86,6} = 92,38$$

Kritické napětí:

$$\sigma_{c,crit} = \pi^2 \cdot \frac{E_{0,05}}{\lambda^2} = \pi^2 \cdot \frac{7\,400}{92,38^2} = 8,56 \text{ MPa}$$



Štíhlostní poměr:

$$\lambda_{rel} = \sqrt{\frac{f_{c,0,k}}{\sigma_{c,crit}}} = \sqrt{\frac{21}{8,56}} = 1,57$$

Součinitel vzpěrnosti:

$$k_z = 0,5 \cdot (1 + \beta_c \cdot (\lambda_{rel} - 0,3) + \lambda_{rel}^2)$$

$$k_z = 0,5 \cdot (1 + 0,2 \cdot (1,57 - 0,3) + 1,57^2)$$

$$k_z = 1,68$$

$$k_{c,z} = \frac{1}{k_z + \sqrt{k_z^2 - \lambda_{rel}^2}}$$

$$k_{c,z} = \frac{1}{1,68 + \sqrt{1,68^2 - 1,57^2}}$$

$$k_{c,z} = 0,44$$

Posouzení:

$$\frac{\sigma_{c,0,d}}{k_{c,z} \cdot f_{c,0,d}} + k_m \cdot \frac{\sigma_{m,y,d}}{f_{m,y,d}} \leq 1$$

$$\frac{3,5}{0,44 \cdot 14,54} + 0,7 \cdot \frac{8,55}{16,62} \leq 1$$

$$0,91 \leq 1 \quad \rightarrow \text{VYHOVUJE}$$

**ŠTÍTOVÉ SLOUPKY VYHOVUJÍ NA 1. MS**



### 3.8.6. Posouzení mezního stavu použitelnosti

Štítové sloupky jsou namáhány ohybem od větru na štítovou stěnu. Průhyb sloupků je číselně vyjádřen v kapitole 3.8.4..

Průhyby:

od zatížení větrem:  $u_{z,w,inst} = 23,5 \text{ mm}$  (ZS6)

$$u_{inst} = 23,5 \text{ mm}$$

$$u_{inst,lim} = \frac{l}{300} = \frac{8\,000}{300} = 26,7 \text{ mm}$$

Posouzení:

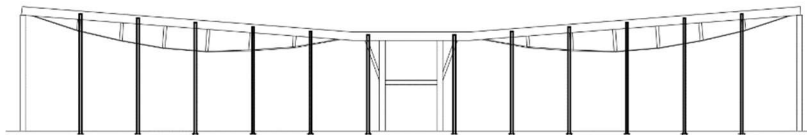
$$u_{inst} \leq u_{inst,lim}$$

$$23,5 \leq 26,7 \text{ [mm]} \quad \rightarrow \text{VYHOVUJE}$$

**ŠTÍTOVÉ SLOUPKY VYHOVUJÍ NA 2. MS**

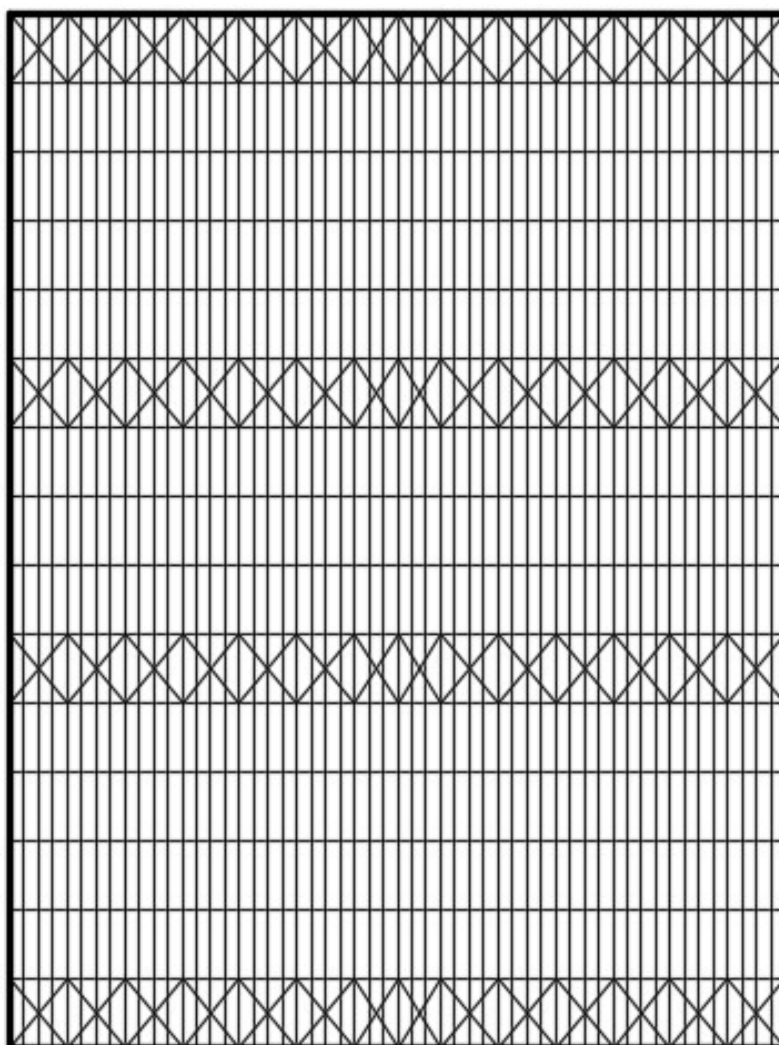
## 4. ZTUŽENÍ

Pohled na čelní stěnu:



Obrázek 14: Schéma čelní stěny

Pohled na střechu:



Obrázek 15: Schéma střechy



## 4.1. Střešní ztužení

Je potřeba stanovit zatížení na krajní střešní ztužidlo od větru a přilehlých vazeb. Pro středová střešní ztužidla je rozhodující zatížení od vnitřních vazeb.

### 4.1.1. Schéma ztužení, zatížení a vnitřní síly

#### Na krajní ztužidla

Zatížení na štítovou stěnu:

$$w_{D,d} = w_{D,k} \cdot \gamma_Q = 0,427 \cdot 1,5 = 0,641 \text{ kN/m}^2$$

Výpočet sil od větru do styčnicků:

$$w_1 = w_{D,k} \cdot Z\check{S}_1 \cdot \frac{h_{s1}}{2} = 0,641 \cdot 2 \cdot \frac{8}{2} = 5,13 \text{ kN}$$

$$w_2 = w_{D,k} \cdot Z\check{S}_2 \cdot \frac{h_{s2}}{2} = 0,641 \cdot 4 \cdot \frac{7,7}{2} = 9,87 \text{ kN}$$

$$w_3 = w_{D,k} \cdot Z\check{S}_3 \cdot \frac{h_{s3}}{2} = 0,641 \cdot 4 \cdot \frac{7,4}{2} = 9,49 \text{ kN}$$

$$w_4 = w_{D,k} \cdot Z\check{S}_4 \cdot \frac{h_{s4}}{2} = 0,641 \cdot 4 \cdot \frac{7,1}{2} = 9,10 \text{ kN}$$

$$w_5 = w_{D,k} \cdot Z\check{S}_5 \cdot \frac{h_{s5}}{2} = 0,641 \cdot 4 \cdot \frac{6,8}{2} = 8,72 \text{ kN}$$

$$w_6 = w_{D,k} \cdot Z\check{S}_6 \cdot \frac{h_{s6}}{2} = 0,641 \cdot 4 \cdot \frac{6,5}{2} = 8,33 \text{ kN}$$

$$w_7 = w_{D,k} \cdot Z\check{S}_5 \cdot \frac{h_{s7}}{2} = 0,641 \cdot 3,5 \cdot \frac{6,3}{2} = 7,07 \text{ kN}$$

$$w_8 = w_{D,k} \cdot Z\check{S}_5 \cdot \frac{h_{s8}}{2} = 0,641 \cdot 3 \cdot \frac{6,3}{2} = 6,06 \text{ kN}$$

Dále je konstrukce symetrická, proto jsou ostatní hodnoty shodné s již vypočtenými.

Výpočet sil od stabilizace ostatních vazeb:

$$q = k_l \cdot \frac{N_d \cdot n}{k_{f3} \cdot l} = 1 \cdot \frac{483,16 \cdot 2}{80 \cdot 54} = 0,22 \text{ kN/m}$$

Bezpečně uvažuji  $N_d$  po celém délce pásu o maximální velikosti.

$$s_1 = q \cdot Z\check{S}_1 = 0,22 \cdot 2 = 0,44 \text{ kN}$$

$$s_2 = q \cdot Z\check{S}_2 = 0,22 \cdot 4 = 0,88 \text{ kN}$$

$$s_3 = q \cdot Z\check{S}_3 = 0,22 \cdot 3,5 = 0,77 \text{ kN}$$

$$s_4 = q \cdot Z\check{S}_4 = 0,22 \cdot 3 = 0,66 \text{ kN}$$

Výšky  
jednotlivých  
sloupů:

$$h_{s1} = 8 \text{ m}$$

$$h_{s2} = 7,7 \text{ m}$$

$$h_{s3} = 7,4 \text{ m}$$

$$h_{s4} = 7,1 \text{ m}$$

$$h_{s5} = 6,8 \text{ m}$$

$$h_{s6} = 6,5 \text{ m}$$

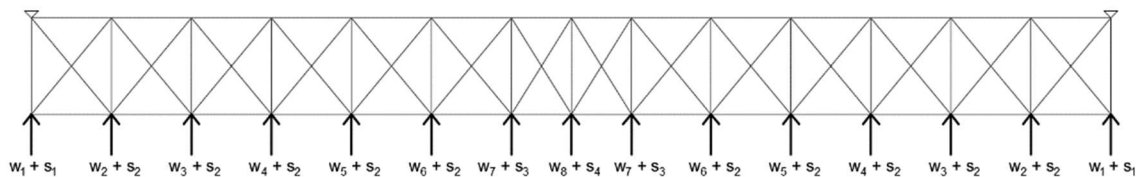
$$h_{s7} = 6,3 \text{ m}$$

$$h_{s8} = 6,3 \text{ m}$$

$N_d$  – návrhová  
síla ve  
stabilizovaném  
pásu

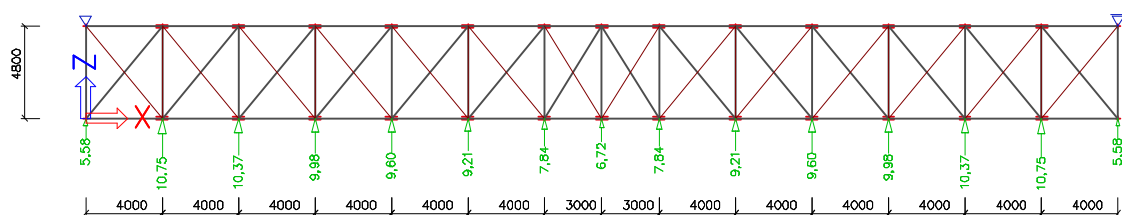
$n$  – počet  
stabilizovaných  
přiléhajících  
vazeb

Zatížení pak v součtu dle následujícího schématu.



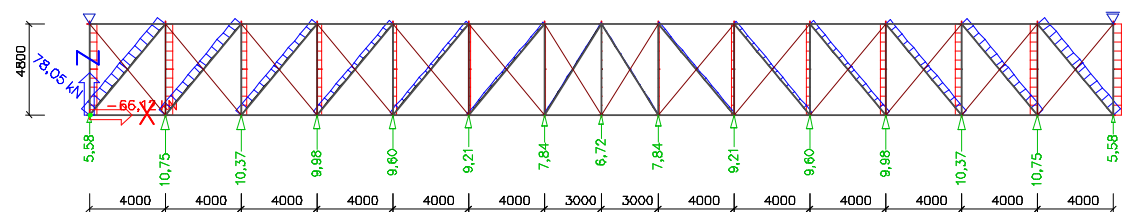
Obrázek 16: Schéma zatížení ztužidel

Ze součtu vypočtených dílčích sil získáme následující výpočetní model.



Dle statického schématu se stanovenými silami provedeme výpočet normálových sil pomocí softwaru. Účinná jsou pouze táhla namáhaná tahem. Tlak je přenášen vaznicemi.

Normálové síly – N (kN)



Odsud zjištěné normálové síly:

$$N_{Ed,c} = 66,12 \text{ kN}$$

$$N_{Ed,t} = 78,05 \text{ kN}$$

Na střední ztužidla

Nejsou zatíženy větrem, pouze síly od stabilizace ostatních vazeb. Zatížení  $N_d$  vychází z kombinace stálého zatížení a sněhu.

Výpočet sil od stabilizace ostatních vazeb:

$$q = k_l \cdot \frac{N_d \cdot n}{k_{f3} \cdot l} = 1 \cdot \frac{465,17 \cdot 3,5}{80 \cdot 54} = 0,38 \text{ kN/m}$$

$$s_1 = q \cdot Z\check{S}_1 = 0,38 \cdot 2 = 0,76 \text{ kN}$$

$$s_2 = q \cdot Z\check{S}_2 = 0,38 \cdot 4 = 1,52 \text{ kN}$$

$$s_3 = q \cdot Z\check{S}_3 = 0,38 \cdot 3,5 = 1,33 \text{ kN}$$

$$s_4 = q \cdot Z\check{S}_4 = 0,38 \cdot 3 = 1,14 \text{ kN}$$

Pro tuto variantu je vidět, že síly jsou výrazně menší a táhlo i vaznice bezpečně vyhoví, pokud splní požadavky na krajní ztužidla.

## 4.1.2. Posouzení mezního stavu únosnosti

Návrh:

Táhlo: Protah P20, ocel S355

Vaznice: 160 x 220 mm, dřevo C 24

Tah

$$\sigma_{t,d} = \frac{N_{Ed,t}}{A} = \frac{78,05 \cdot 10^3}{\pi \cdot \frac{20^2}{4}} = 248,4 \text{ MPa}$$

Posouzení:

$$\sigma_{t,d} \leq f_{y,d}$$

$$248,4 \leq 355 \text{ [MPa]} \quad \rightarrow \text{VYHOVUJE}$$



Parametry

vaznice:

$$b = 160 \text{ mm}$$

$$h = 220 \text{ mm}$$

$$A = 35\,200 \text{ mm}^2$$

$$I_y = 141,97 \cdot 10^6 \text{ mm}^4$$

$$I_z = 75,09 \cdot 10^6 \text{ mm}^4$$

$$W_y = 1,29 \cdot 10^6 \text{ mm}^3$$

$$W_z = 0,94 \cdot 10^6 \text{ mm}^3$$

$$i_y = 63,51 \text{ mm}$$

$$i_z = 46,19 \text{ mm}$$

$$\text{délka} = 4,8 \text{ m}$$

(viz kapitola  
3.1.3.)

$$M_y = 7,08 \text{ kNm}$$

Vzpěrný tlak

$$\sigma_{c,0,d} = \frac{N_{Ed,c}}{A} = \frac{66,12 \cdot 10^3}{35\,200} = 1,88 \text{ MPa}$$

A) v rovině vaznice

$$\lambda_y = \frac{L_{cr,y}}{i_y} = \frac{4\,800}{63,51} = 75,58$$

Kritické napětí:

$$\sigma_{c,crit} = \pi^2 \cdot \frac{E_{0,05}}{\lambda_y^2} = \pi^2 \cdot \frac{7\,400}{75,58^2} = 12,79 \text{ MPa}$$

Štíhlostní poměr:

$$\lambda_{rel,y} = \sqrt{\frac{f_{c,0,k}}{\sigma_{c,crit}}} = \sqrt{\frac{21}{12,79}} = 1,28$$

$$k_y = 0,5 \cdot (1 + \beta_c \cdot (\lambda_{rel,y} - 0,3) + \lambda_{rel,y}^2)$$

$$k_y = 0,5 \cdot (1 + 0,2 \cdot (1,28 - 0,3) + 1,28^2)$$

$$k_y = 1,42$$

$$k_{c,y} = \frac{1}{k_y + \sqrt{k_y^2 - \lambda_{rel}^2}}$$

$$k_{c,y} = \frac{1}{1,42 + \sqrt{1,42^2 - 1,28^2}}$$

$$k_{c,y} = 0,49$$

Posouzení:

$$\frac{\sigma_{c,0,d}}{k_{c,y} \cdot f_{c,0,d}} \leq 1$$

$$\frac{1,88}{0,49 \cdot 14,54} \leq 1$$

$$0,26 \leq 1$$

-&gt; VYHOVUJE



B) z roviny vaznice

$$\lambda_z = \frac{L_{cr,z}}{i_z} = \frac{4\,800}{46,19} = 103,92$$

Kritické napětí:

$$\sigma_{c,crit} = \pi^2 \cdot \frac{E_{0,05}}{\lambda_z^2} = \pi^2 \cdot \frac{7\,400}{103,92^2} = 6,76 \text{ MPa}$$

Štíhlostní poměr:

$$\lambda_{rel,z} = \sqrt{\frac{f_{c,0,k}}{\sigma_{c,crit}}} = \sqrt{\frac{21}{6,76}} = 1,76$$

$$k_z = 0,5 \cdot (1 + \beta_c \cdot (\lambda_{rel,z} - 0,3)) + \lambda_{rel,z}^2$$

$$k_z = 0,5 \cdot (1 + 0,2 \cdot (1,76 - 0,3)) + 1,76^2$$

$$k_z = 2,19$$

$$k_{c,z} = \frac{1}{k_z + \sqrt{k_z^2 - \lambda_{rel,z}^2}}$$

$$k_{c,z} = \frac{1}{2,19 + \sqrt{2,19^2 - 1,76^2}}$$

$$k_{c,z} = 0,29$$

Posouzení:

$$\frac{\sigma_{c,0,d}}{k_{c,z} \cdot f_{c,0,d}} \leq 1$$

$$\frac{1,88}{0,29 \cdot 14,54} \leq 1$$

$$0,45 \leq 1$$

-> **VYHOVUJE**

Kombinace ohybu a vzpěrného tlaku

$$\sigma_{c,0,d} = \frac{N_{Ed,c}}{A} = \frac{66,12 \cdot 10^3}{35\,200} = 1,88 \text{ MPa}$$

$$\sigma_{m,y,d} = \frac{M_{y,Ed}}{W_y} = \frac{7,08 \cdot 10^6}{1,29 \cdot 10^6} = 5,49 \text{ MPa}$$

Posouzení:

$$\frac{\sigma_{c,0,d}}{k_{c,y} \cdot f_{c,0,d}} + k_m \cdot \frac{\sigma_{m,y,d}}{f_{m,y,d}} \leq 1$$

$$\frac{1,88}{0,49 \cdot 14,54} + 0,7 \cdot \frac{5,49}{16,62} \leq 1$$

$$0,5 \leq 1$$

-> **VYHOVUJE****STŘEŠNÍ ZTUŽIDLA VYHOVUJÍ NA 1. MS**

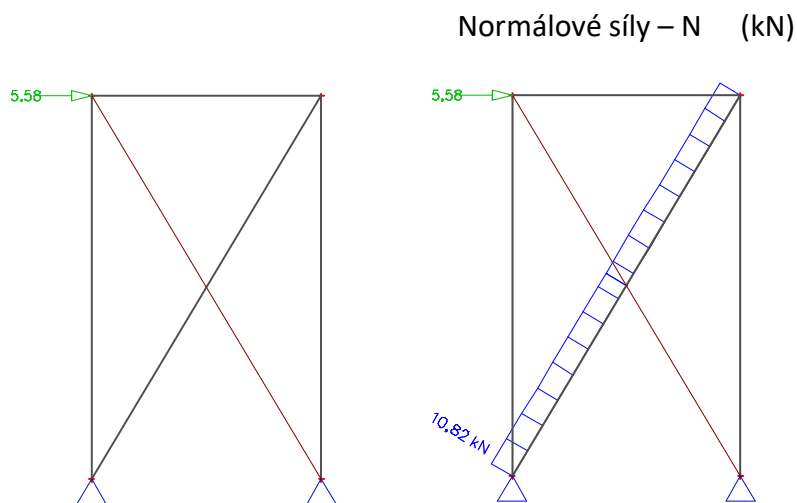
## 4.1.3. Posouzení mezního stavu použitelnosti

Průhyby táhel nejsou pro konstrukci nijak rozhodující a průhyb vaznice je posouzen s dostatečnou rezervou v kapitole 3.1.6..

## 4.2. Stěnové ztužení

### 4.2.1. Schéma ztužení, zatížení a vnitřní síly

Opět navrhne pro krajní ztužidlo a použijeme pro všechny pole ztužená ve stěně. Pro stěnové ztužidlo platí následující výpočtový model.



### 4.2.2. Posouzení mezního stavu únosnosti

Tah

$$\sigma_{t,d} = \frac{N_{Ed,t}}{A} = \frac{10,82 \cdot 10^3}{\pi \cdot \frac{20^2}{4}} = 34,4 \text{ MPa}$$

Posouzení:

$$\sigma_{t,d} \leq f_{y,d}$$

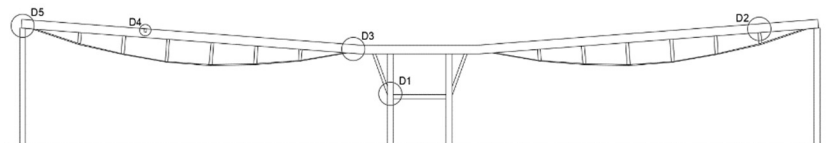
$$34,4 \leq 355 \text{ [MPa]} \quad \rightarrow \text{VYHOVUJE}$$

### 4.2.3. Posouzení mezního stavu použitelnosti

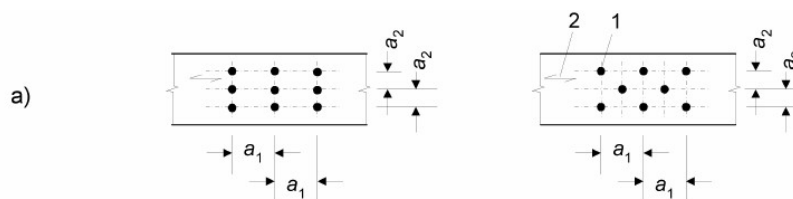
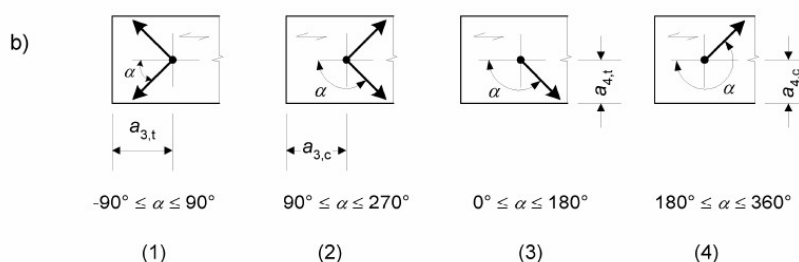
Průhyby ztužujících táhel nejsou pro konstrukci nijak rozhodující. Mezní stav použitelnosti není třeba posuzovat.

## 5. SPOJE KONSTRUKČNÍCH PRVKŮ

Na následujícím schématu jsou znázorněny spoje, které budou početně řešeny v rámci této práce. Ostatní prvky spojů, které budou potřeba pro detaily apod. jsou odhadnuty.



Obrázek 17: Schéma početně řešených spojů



Obrázek 18: Uspořádání svorníků

Podmínky pro odstupové vzdálenosti svorníkových spojů:

Legenda:

(1) – zatížený konec, (2) – nezatížený konec, (3) – zatížený okraj, (4) – nezatížený okraj

Rozteče a vzdálenosti od konců/okrajů (viz obrázek 8.7)	Úhel	Minimální rozteče nebo vzdálenosti
$a_1$ (rovnoběžně s vlákny)	$0^\circ \leq \alpha \leq 360^\circ$	$(4 +  \cos \alpha ) d$
$a_2$ (kolmo k vláknům)	$0^\circ \leq \alpha \leq 360^\circ$	$4 d$
$a_{3,t}$ (zatížený konec)	$-90^\circ \leq \alpha \leq 90^\circ$	$\max(7 d; 80 \text{ mm})$
$a_{3,c}$ (nezatížený konec)	$90^\circ \leq \alpha < 150^\circ$	$\max[(1 + 6 \sin \alpha) d; 4d]$
	$150^\circ \leq \alpha < 210^\circ$	$4 d$
	$210^\circ \leq \alpha \leq 270^\circ$	$\max[(1 + 6 \sin \alpha) d; 4d]$
$a_{4,t}$ (zatížený okraj)	$0^\circ \leq \alpha \leq 180^\circ$	$\max[(2 + 2 \sin \alpha) d; 3d]$
$a_{4,c}$ (nezatížený okraj)	$180^\circ \leq \alpha \leq 360^\circ$	$3 d$

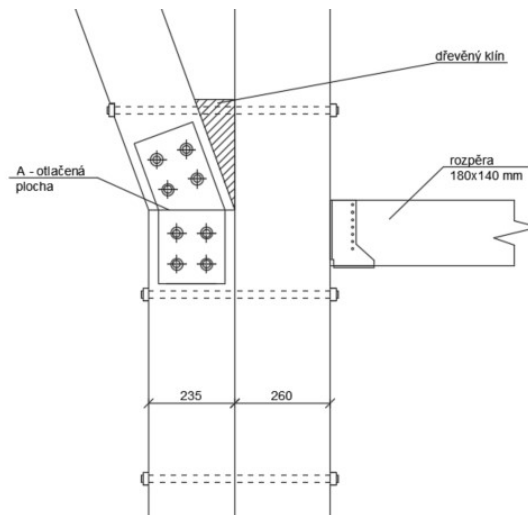
Tabulka 9: Odstupové vzdálenosti svorníků

## 5.1. Spoj středové vzpěry se sloupkem

Z důvodu velké síly ve vzpěře a případnému oslabení sloupku čepováním je navržen přidavný sloupek od rozpěry dolů.

### Schéma spoje

#### 5.1.1. Posouzení únosnosti spoje



Obrázek 19: Schéma spoje, středová vzpěra - sloupek

$$\sigma_{c,d} = \frac{N_{Ed,c}}{A} = \frac{285,08 \cdot 10^3}{89\,300} = 3,19 \text{ MPa}$$

$$N_{Ed,c} = 285,08 \text{ kN}$$

$A = 89\,300 \text{ mm}^2$  –  
odměřeno  
z AutoCADu

$\alpha = 20^\circ$  - úhel od  
svislice

$k_{c,90} = 1$  –  
otlačena celá  
plocha

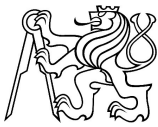
### Otláčení

redukována pevnost ve směru zatížení:

$$f_{c,\alpha,d} = \frac{f_{c,0,d}}{\frac{f_{c,0,d}}{k_{c,90} \cdot f_{c,90,d}} \cdot \sin(\alpha)^2 + \cos(\alpha)^2}$$

$$f_{c,\alpha,d} = \frac{14,54}{1 \cdot 1,73 \cdot \sin(20)^2 + \cos(20)^2}$$

$$f_{c,\alpha,d} = 7,79 \text{ MPa}$$



$N_{Ed,\alpha}$  – síla ve  
spodní části  
sloupku

$A = 235 \times 380 \text{ mm}$

Posouzení:

$$\sigma_{c,\alpha,d} \leq f_{c,\alpha,d}$$

$$5,63 \leq 7,79 \text{ [MPa]} \quad \rightarrow \text{VYHOVUJE}$$

### Únosnost přídatného sloupku

Síla ve sloupku –  $N_{Ed,\alpha}$

$$N_{Ed,\alpha} = N_{Ed} \cdot \cos(\alpha)$$

$$N_{Ed,\alpha} = 285,08 \cdot \cos(20^\circ)$$

$$N_{Ed,\alpha} = 267,89 \text{ kN}$$

$$\sigma_{c,\alpha,d} = \frac{N_{Ed,\alpha}}{A} = \frac{267,89 \cdot 10^3}{89\,300} = 3,0 \text{ MPa}$$

Posouzení:

$$\frac{\sigma_{c,\alpha,d}}{f_{c,0,d}} \leq 1$$

$$\frac{3,0}{14,54} \leq 1$$

$$0,21 \leq 1 \quad \rightarrow \text{VYHOVUJE}$$

Přídavný sloupek je dostatečně stabilizován vůči vzpěru připojením ke stávajícímu sloupku. Proto není potřeba na vzpěr posuzovat.

### Plech

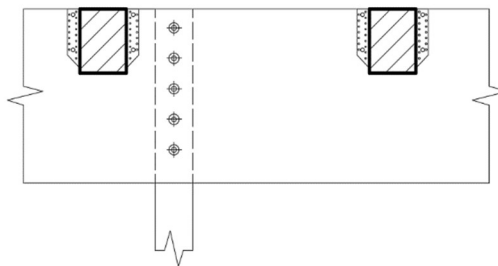
Spoj bude opatřen příložným ocelovým plechem z obou stran. Není nutno posuzovat, je zde umístěn pouze konstrukčně. Plech tloušťky 15 mm bude přiložen z obou stran přes napojení vzpěrky a příložného sloupku.

### Svorníky

Veškeré svorníky použité v tomto spoji budou pevnostní třídy 5.8, typu M16. Svorníky není třeba pevnostně posuzovat, slouží zde z konstrukčních účelů na propojení stávajícího sloupku a přídatného sloupku. 2 svorníky v jedné řadě splňují i požadované minimální odstupové vzdálenosti.

## 5.2. Spoj vzpěrky vzpínadla s vazníkem

Schéma spoje:



Obrázek 20: Schéma spoje vzpěrka - vazník

### 5.2.1. Vstupní údaje, materiálové char.

Tloušťka prvku:	140 mm
Tloušťka spojovaného prvku:	100 mm
Typ šroubu:	M16 (d = 16 mm)
Pevnostní tř. svorníku:	5.8
Char. pevnost v tahu $f_{u,b}$ :	500 N/mm <sup>2</sup>
Char. pevnost v tlaku $f_{y,b}$ :	400 N/mm <sup>2</sup>
Průměr podložky (vnější/vnitřní):	58/18 mm
Plocha jádra šroubu $A_s$ :	157 mm <sup>2</sup>

Charakteristická pevnost dřeva v tlaku:

$$f_{c,90,k} = 2,5 \text{ N/mm}^2$$

Měrná objemová hmotnost dřeva:  $\rho_{k,LLD} = 440 \text{ kg/m}^3$

$$\rho_{k,rostlé} = 420 \text{ kg/m}^3$$

### 5.2.2. Posouzení únosnosti spoje

**Návrh:** 1 řada, 5 svorníků

Charakteristická pevnost v otláčení v dřevěném prvku:

Lepené lamelové dřevo:

$$f_{h,0,k,LLD} = 0,082 \cdot (1 - 0,01 \cdot d) \cdot \rho_{k,LLD}$$

$$f_{h,0,k,LLD} = 0,082 \cdot (1 - 0,01 \cdot 16) \cdot 440$$

$$f_{h,0,k,LLD} = 30,31 \text{ MPa}$$

Pro úhel  $\alpha = 0^\circ$  lze říci, že  $f_{h,1,k} = f_{h,0,k,LLD}$

$$f_{h,1,k} = 30,31 \text{ MPa}$$

$$k_{90} = 1,35 + 0,015 \cdot d$$

$$= 1,35 + 0,015 \cdot 16$$

$$k_{90} = 1,59$$



$$k_{90} = 1,35 + 0,015 \cdot d$$

$$= 1,35 + 0,015 \cdot 16$$

$$k_{90} = 1,59$$

Rostlé dřevo:

$$f_{h,0,k,r} = 0,082 \cdot (1 - 0,01 \cdot d) \cdot \rho_{k,rostlé}$$

$$f_{h,0,k,r} = 0,082 \cdot (1 - 0,01 \cdot 16) \cdot 420$$

$$f_{h,0,k,r} = 28,93 \text{ MPa}$$

$$f_{h,2,k} = \frac{f_{h,0,k,r}}{k_{90} \cdot \sin^2 \alpha + \cos^2 \alpha} = \frac{28,93}{1,59 \cdot \sin^2 90^\circ + \cos^2 90^\circ}$$

$$f_{h,2,k} = 18,19 \text{ MPa}$$

$$\beta = \frac{f_{h,2,k}}{f_{h,1,k}} = \frac{18,19}{30,31} = 0,6$$

Charakteristický moment únosnosti spoj. prostředku:

$$M_{y,Rk} = 0,3 \cdot f_{u,k} \cdot d^{2,6} = 0,3 \cdot 500 \cdot 16^{2,6} = 202\,676,4 \text{ Nmm}$$

Char. únosnost na vytažení spojovacího prostředku:

Hodnota této únosnosti je pro náš případ buď menší z 25% hodnoty prvního členu vztahů c, d nebo menší z hodnot 25% otláčení pod podložkou nebo přetržení svorníku.

$$F_{ax,Rk,1} = \frac{22\,835,8}{4} = 5\,709 \text{ N}$$

$$F_{ax,Rk,2} = \frac{13\,963,6}{4} = 3\,491 \text{ N}$$

$$F_{ax,Rk,3} = \frac{A_s \cdot f_{uk}}{1,25} = \frac{157\,500}{1,25} = 15\,700 \text{ N}$$

$$F_{ax,Rk,4} = \frac{A_s \cdot f_{yk}}{1,25} = \frac{157\,400}{1,25} = 13\,652 \text{ N}$$

$$F_{ax,Rk,5} = \frac{A_{net} \cdot 3 \cdot f_{c,90,d}}{4} = \frac{2387,6 \cdot 3 \cdot 1,8}{4} = 3\,223 \text{ N}$$

$A_{net}$  – plocha podložky

$$A_{net} = \pi \cdot d_2^2 / 4 - \pi \cdot d_1^2 / 4$$

$$A_{net} = 2387,6 \text{ mm}^2$$

Dle následujícího vztahu pak máme hodnoty:

(pro přehlednost do jednotlivých řádků vztahy a – d)

$$F_{v,Rk} = \min \left( 1,05 \cdot \frac{f_{h,1,k} \cdot t_1 \cdot d}{2 + \beta} \cdot \left[ \sqrt{2\beta \cdot (1 + \beta) + \frac{4\beta \cdot (2 + \beta) \cdot M_{y,Rk}}{f_{h,1,k} \cdot t_1^2 \cdot d}} - \beta \right] + \frac{F_{ax,Rk}}{4} \right)$$

$$1,15 \cdot \frac{2\beta}{1 + \beta} \cdot \sqrt{2 \cdot M_{y,Rk} \cdot f_{h,1,k} \cdot d + \frac{F_{ax,Rk}^2}{4}}$$





Dílní únosnosti:

$$a) F_{v,Rk,a} = f_{h,1,k} \cdot t_1 \cdot d$$

$$b) F_{v,Rk,b} = 0,5 \cdot f_{h,2,k} \cdot t_2 \cdot d$$

$$c) F_{v,Rk,c} = 1,05 \cdot \frac{f_{h,1,k} \cdot t_1 \cdot d}{2+\beta} \cdot \left[ \sqrt{2\beta \cdot (1+\beta) + \frac{4\beta \cdot (2+\beta) \cdot M_{y,Rk}}{f_{h,1,k} \cdot t_1^2 \cdot d} - \beta} \right] + \frac{F_{ax,Rk}}{4}$$

$$d) F_{v,Rk,d} = 1,15 \cdot \sqrt{\frac{2\beta}{1+\beta}} \cdot \sqrt{2 \cdot M_{y,Rk} \cdot f_{h,1,k} \cdot d + \frac{F_{ax,Rk}}{4}}$$

Po dosazení:

$$a) F_{v,Rk,a} = 30,31 \cdot 140 \cdot 16$$

$$b) F_{v,Rk,b} = 0,5 \cdot 18,19 \cdot 100 \cdot 16$$

$$c) F_{v,Rk,c} = 1,05 \cdot \frac{30,31 \cdot 140 \cdot 16}{2+0,6} \cdot \left[ \sqrt{2 \cdot 0,6 \cdot (1+0,6) + \frac{4 \cdot 0,6 \cdot (2+0,6) \cdot 202\,676,4}{30,31 \cdot 140^2 \cdot 16} - 0,6} \right] + \frac{3223}{4}$$

$$d) F_{v,Rk,d} = 1,15 \cdot \sqrt{\frac{2 \cdot 0,6}{1+0,6}} \cdot \sqrt{2 \cdot 202\,676,4 \cdot 30,31 \cdot 16 + \frac{3223}{4}}$$

$$F_{v,Rk} = \min \begin{cases} 67\,894 \\ 14\,552 \\ 23\,642 \\ 14\,769 \end{cases}$$

$$F_{v,Rk} = 14\,552 \text{ N}$$

Počet svorníků:

$$a_1 = (4 + \cos \alpha) \cdot d$$

$$a_1 = (4 + \cos 0) \cdot 16$$

$$a_1 = 80 \text{ mm}$$

$$n_{ef} = \min \left\{ n^{0,9} \cdot \sqrt[4]{\frac{a_1}{13d}} = \min \left\{ 5^{0,9} \cdot \sqrt[4]{\frac{64}{13 \cdot 16}} = \min \left\{ 3,17 = 3,35 \right. \right. \right.$$

Únosnost spoje:

$$F_{max} = \text{střižnost} \cdot \text{počet řad} \cdot n_{ef} \cdot F_{v,Rk} \cdot \frac{k_{mod}}{\gamma_M}$$

$$F_{Ed} = 52,0 \text{ kN}$$

$$F_{max} = 2 \cdot 1 \cdot 3,35 \cdot 14,552 \cdot \frac{0,8}{1,3}$$

-> max. síla ve  
vzpěře

$$F_{max} = 60,0 \text{ kN}$$



$$F_{Ed} = 52,0 \text{ kN}$$

-> max. síla ve  
vzpěře

Posouzení:

$$F_{max} \geq F_{Ed}$$

$$60,0 \geq 52 \text{ [kN]}$$

-> **VYHOVUJE**

Na kritérium únosnosti spoj vyhoví, ale je potřeba zkontrolovat  
odstupové vzdálenosti a uzpůsobit tomu připojovaný prvek.

Hodnoty pro řešený styčnick: (dle tabulky č.7, str. 73)

svislé odstupy:

$$a_1 = (4 + \cos \alpha) \cdot d$$

$$a_1 = (4 + \cos 0) \cdot 16$$

$$a_1 = 80 \text{ mm}$$

vodorovné odstupy:

$$a_2 = 4 \cdot d$$

$$a_2 = 4 \cdot 16$$

$$a_2 = 64 \text{ mm}$$

odstup od zat. konce:

$$a_{3,t} = \max. (7 \cdot d ; 80 \text{ mm})$$

$$a_{3,t} = \max. (112 ; 80 \text{ mm})$$

$$a_{3,t} = 112 \text{ mm}$$

odstup od nezat. konce:

$$a_{3,c} = 4 \cdot d$$

$$a_{3,c} = 4 \cdot 16$$

$$a_{3,c} = 64 \text{ mm}$$

Pro  $\alpha \in$   
<150;180>

Po sečtení těchto hodnot získáváme potřebný prostor:

$$\text{Výška: } a_{3,c} + 4 \cdot a_1 + a_{3,t} = 64 + 4 \cdot 80 + 112 = 496 \text{ mm}$$

$$\text{Šířka: } 2 \cdot a_2 = 2 \cdot 64 = 128 \text{ mm}$$

Posouzení:

$$\text{Výška: } 496 \leq 600 \text{ [mm]}$$

-> **VYHOVUJE**

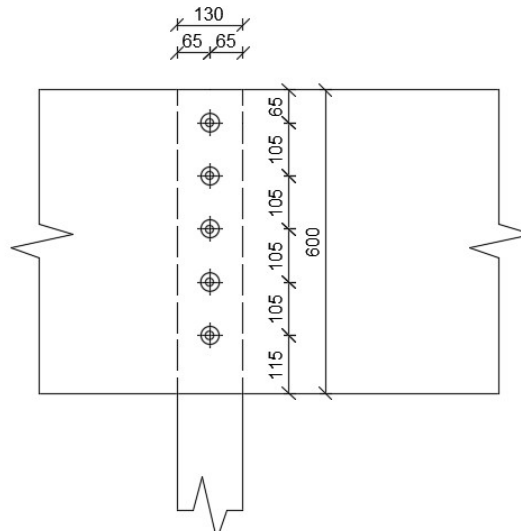
$$\text{Šířka: } 128 \leq 100 \text{ [mm]}$$

-> **NEVYHOVUJE**

Šířka vzpěry je nedostatečná pro odstupové vzdálenosti  
svorníků. Navrhují tedy její rozšíření na 130 mm. Únosnost  
vzpěry není již nutno posuzovat, protože vyhověla s menší  
šířkou.

Tento spoj byl navržen pro vzpěrku, která je namáhána maximální silou. Navržený spoj pak můžeme bezpečně použít pro všechna připojení vzpěry ke konstrukci vazníku, protože síla bude vždy menší a spoj tak vždy vyhoví.

Navrhuji konečné odstupové vzdálenosti spoje dle následujícího schéma:

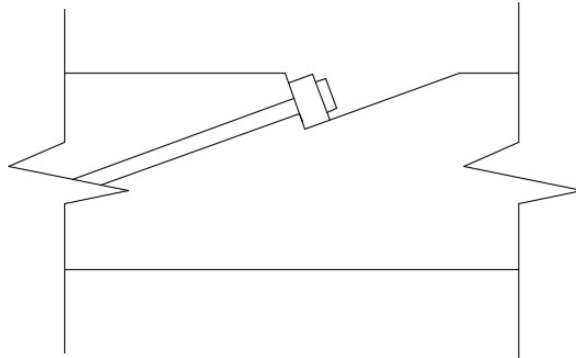


Obrázek 21: Výsledný spoj, vzpěrka – horní pás

### 5.3. Spoj táhla a horního pásu

Spoj bude proveden zapřením táhla do horní strany vazníku přes ocelovou desku.

#### Schéma spoje



Obrázek 22: Schéma spoje, táhlo – horní pás

#### 5.3.1. Posouzení únosnosti spoje

$$\sigma_{c,\alpha,d} = \frac{N_{Ed,c}}{A} = \frac{508,27 \cdot 10^3}{42\,000} = 12,1 \text{ MPa}$$

A – součet plochy dvou dílčích pásů

A = šířka vazníku (2\*140 mm) x tlačná plocha (150 mm)

$N_{Ed,c}$  – tahová síla v táhle

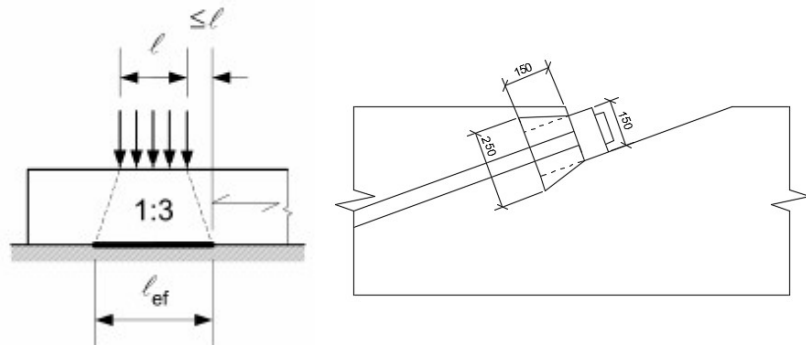
$\alpha$  – úhel napojení táhla

#### Otlačení

Stanovení koeficientu  $k_{c,90}$

$$k_{c,90} = \frac{l_{ef}}{l} = \frac{250}{150} = 1,67$$

dle následujícího obrázku



Obrázek 23: Otlačení, táhlo – horní pás



Redukovaná pevnost ve směru zatížení:

$$f_{c,\alpha,d} = \frac{f_{c,0,d}}{\frac{f_{c,0,d}}{k_{c,90} \cdot f_{c,90,d}} \cdot \sin(\alpha)^2 + \cos(\alpha)^2}$$

$$f_{c,\alpha,d} = \frac{23,04}{1,67 \cdot 1,8 \cdot \sin(20)^2 + \cos(20)^2}$$

$$f_{c,\alpha,d} = 12,95 \text{ MPa}$$

Posouzení:

$$\sigma_{c,\alpha,d} \leq f_{c,\alpha,d}$$

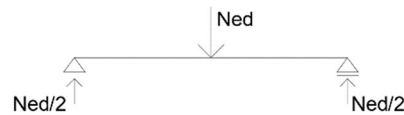
$$12,1 \leq 12,95 \text{ [MPa]}$$

-> VYHOVUJE

### Ohyb ocelové roznášecí desky

Parametry:

ocel S355, rozměry (š/v/d): 150/80/380 mm



Nejprve zjistíme velikost smykového působení na desce.

$$V_{Ed} = 254,14 \text{ kN}$$

$$V_{Rd} = \frac{A_v \cdot \left(\frac{f_y}{\sqrt{3}}\right)}{\gamma_{M0}}$$

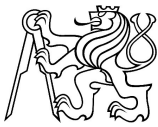
$$V_{Rd} = \frac{12\,000 \cdot \left(\frac{355}{\sqrt{3}}\right)}{1}$$

$$V_{Rd} = 2\,460 \text{ kN}$$

$$N_{Ed} = 508,27 \text{ kN}$$

$$N_{Ed}/2 = 254,14 \text{ kN}$$

$$A = 150 \times 80 = 12\,000 \text{ mm}^2$$



Posouzení:

$$V_{Ed} \leq 0,5 V_{Rd}$$

$$254,14 \leq 0,5 \cdot 2 \cdot 460$$

$$254,14 \leq 1 \cdot 230 \text{ [kN]} \quad \rightarrow \text{malý smyk}$$

Ohyb:

$$M_{Ed} = V_{Ed} \cdot \frac{d}{2}$$

$$M_{Ed} = 254,14 \cdot \frac{0,38}{2}$$

$$M_{Ed} = 48,29 \text{ kNm}$$

$$W_{pl} = \frac{1}{6} \cdot b \cdot h^2$$

$$W_{pl} = \frac{1}{6} \cdot 0,15 \cdot 0,08^2$$

$$W_{pl} = 1,6 \cdot 10^{-4} \text{ m}^3$$

Moment únosnosti:

$$M_{Rd} = \frac{W_{pl} \cdot f_y}{\gamma_{M0}}$$

$$M_{Rd} = \frac{1,6 \cdot 10^{-4} \cdot 355 \cdot 10^3}{1}$$

$$M_{Rd} = 56,8 \text{ kNm}$$

Posouzení:

$$M_{Ed} \leq M_{Rd}$$

$$48,29 \leq 56,8 \text{ [kNm]} \quad \rightarrow \text{VYHOVUJE}$$

## 5.4. Spoj horního pásu – vnitřní kloub

Spoj je v nejnepříznivější kombinaci namáhán normálovou silou o velikosti 87,95 kN.

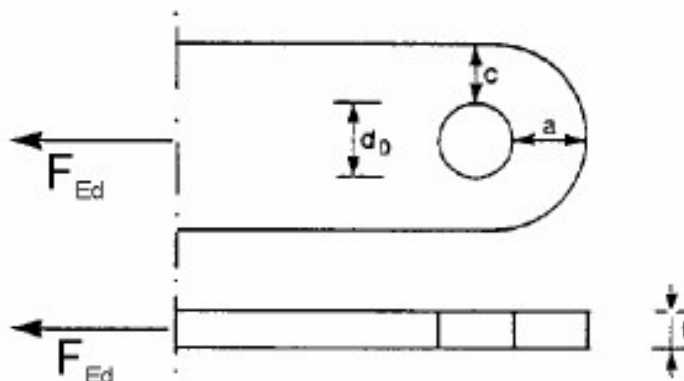
Materiál plechů:	ocel S355
mez kluzu	$f_y = 355 \text{ MPa}$
mez pevnosti v tahu	$f_u = 510 \text{ MPa}$

Materiál čepu:	ocel 5.8
mez kluzu	$f_{yb} = 400 \text{ MPa}$
mez pevnosti	$f_{ub} = 500 \text{ MPa}$

### Návrh

průměr čepu	$d = 34 \text{ mm}$
průměr otvoru	$d_0 = 36 \text{ mm}$
tloušťka středního plechu	$t = 25 \text{ mm}$

Dle ČSN EN 1993-1-8 se jedná o typ A, byla tedy zvolena tloušťka středního plechu.



Obrázek 24: Schéma čepového plechu

Parametry pro střední plech:

$$\gamma_{M0} = 1$$

$$a > \frac{F_{Ed} \cdot \gamma_{M0}}{2 \cdot t \cdot f_y} + \frac{2 \cdot d_0}{3} = \frac{87,95 \cdot 10^3 \cdot 1}{2 \cdot 25 \cdot 355} + \frac{2 \cdot 36}{3} = 28,95 \text{ mm}$$

$$a > 28,95 \quad \rightarrow \text{NÁVRH: min. 40 mm}$$

$$c > \frac{F_{Ed} \cdot \gamma_{M0}}{2 \cdot t \cdot f_y} + \frac{d_0}{3} = \frac{87,95 \cdot 10^3 \cdot 1}{2 \cdot 25 \cdot 355} + \frac{36}{3} = 16,95 \text{ mm}$$

$$c > 16,95 \text{ mm} \quad \rightarrow \text{NÁVRH: min. 20 mm}$$



## 5.4.1. Posouzení čepového spoje

Únosnost čepu ve stříhu pro dvě stříhové roviny:

$$\gamma_{M0} = 1$$

$$F_{v,Rd} = 2 * 0,6 * A * \frac{f_{up}}{\gamma_{M2}} = 2 * 0,6 * \frac{\pi * 34^2}{4} * \frac{500}{1,25}$$

$$F_{v,Rd} = 435,80 \text{ kN}$$

$$F_{v,Rd} \geq F_{Ed}$$

$$435,80 \geq 87,95 \text{ [kN]} \quad \rightarrow \text{VYHOVUJE}$$

Únosnost ocelové desky a čepu v otláčení:

$$F_{b,Rd} = \frac{1,5 * d * t * f_y}{\gamma_{M0}} = \frac{1,5 * 34 * 25 * 355}{1}$$

$$F_{b,Rd} = 452,63 \text{ kN}$$

$$F_{b,Rd} \geq F_{Ed}$$

$$452,63 \geq 87,95 \text{ [kN]} \quad \rightarrow \text{VYHOVUJE}$$

Únosnost čepu v ohybu:

$$M_{Ed} = \frac{F_{Ed}}{8} * (t + 4 * t_0 + 2 * t_1)$$

$$M_{Ed} = \frac{87,95 * 10^3}{8} * (25 + 4 * 1 + 2 * 15)$$

$$M_{Ed} = 0,65 \text{ kNm}$$

$$W_{el} = \frac{\pi * d^3}{32} = \frac{\pi * 34^3}{32} = 3858,66 \text{ mm}^3$$

$$M_{Rd} = 1,5 * W_{el} * \frac{f_{yp}}{\gamma_{M0}} = 1,5 * 3858,66 * \frac{400}{1}$$

$$M_{Rd} = 2,32 \text{ kNm}$$

$$M_{Rd} \geq M_{Ed}$$

$$2,32 \geq 0,65 \quad \rightarrow \text{VYHOVUJE}$$

Posouzení čepu na kombinaci ohybu a smyku:

$$\left[ \frac{M_{Ed}}{M_{Rd}} \right]^2 + \left[ \frac{F_{v,Ed}}{F_{v,Rd}} \right]^2 \leq 1$$

$$\left[ \frac{0,65}{2,32} \right]^2 + \left[ \frac{87,95}{435,80} \right]^2 \leq 1$$

$$0,12 \leq 1 \quad \rightarrow \text{VYHOVUJE}$$

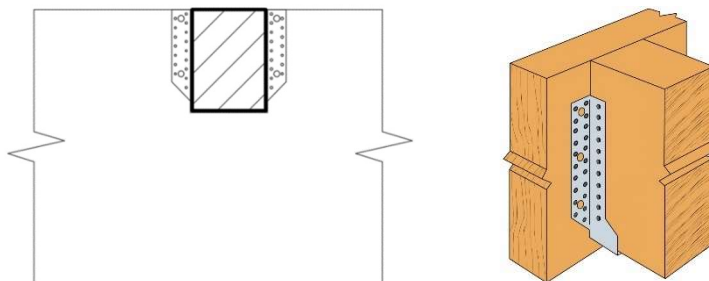


## 5.5. Spoj vaznice a horního pásu

Vaznice je umístěna mezi vazníky pomocí trámových botek GSE 600/160/2,5, z oceli S 250 GD+Z 275. Které jsou během montáže připevněny pomocí hřebíků. Nosnost spoje pak zajišťují 4 šrouby, které jsou umístěny dle geometrie botky. Vaznice horní hranou lícuje s horní hranou vazníku.

Spoj není třeba staticky posuzovat, trámová botka splňuje všechny požadavky, které jsou podrobně popsány v technických listech.

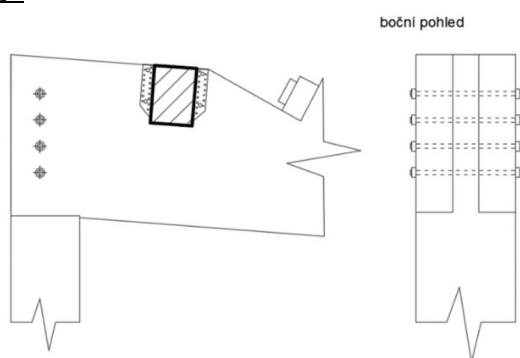
### Schéma spoje



Obrázek 25: Schéma spoje vaznice - horní pás + trámová botka

## 5.6. Spoj vazníku a sloupu

### Schéma spoje



Obrázek 26: Schéma spoje vazník - sloup

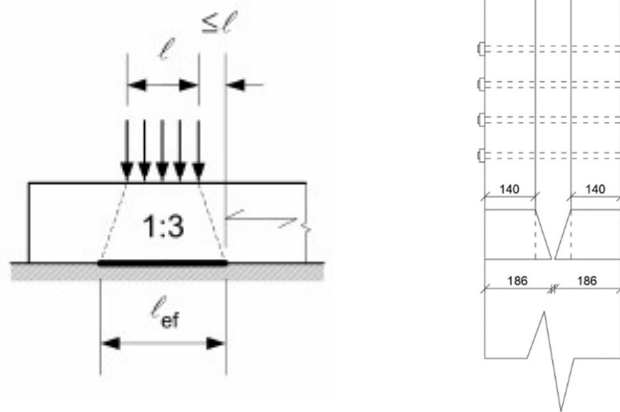
Vazník je osazen na sloup, který je v horní části oslaben a pokračuje mezi pásy vazníku. Svorníky pouze zajišťují spojení proti oddělení průřezů, není třeba je posuzovat na únosnost.

## 5.6.1. Posouzení únosnosti spoje

$N_{Ed,c} = 129,28 \text{ kN}$   
A – otláčená  
plocha

$A = 280 \times 260 \text{ mm}$   
 $A = 72\,800 \text{ mm}^2$

$$\sigma_{c,d} = \frac{N_{Ed,c}}{A} = \frac{129,2 \cdot 10^3}{72\,800} = 1,7 \text{ MPa}$$

Otláčení

Obrázek 27: Otláčení sloup - vazník

$$k_{c,90} = \frac{l_{ef}}{l} = \frac{372}{280} = 1,33$$

redukováná pevnost ve směru zatížení:

$$f_{c,\alpha,d} = \frac{f_{c,0,d}}{\frac{f_{c,0,d}}{k_{c,90} \cdot f_{c,90,d}} \cdot \sin(\alpha)^2 + \cos(\alpha)^2}$$

$$f_{c,\alpha,d} = \frac{23,04}{\frac{23,04}{1,33 \cdot 1,8} \cdot \sin(90)^2 + \cos(90)^2}$$

$$f_{c,\alpha,d} = 2,4 \text{ MPa}$$

Posouzení:

$$\sigma_{c,\alpha,d} \leq f_{c,\alpha,d}$$

$$1,7 \leq 2,4 \text{ [MPa]} \quad \rightarrow \text{VYHOVUJE}$$



## 6. Přehled navržených prvků

V následující tabulce jsou shrnuty všechny konečné rozměry prvků a řešení spojů, které byly vypočteny a navrženy.

Název prvku	Typ dřeva/oceli	Rozměry [mm]
<b>konstrukční prvky</b>		
vaznice	C24	160 x 220
sloup	C24	260 x 380
horní pás	LLD GL 32h	2x 140/600
vzpěry - vzpínadlo	C24	130 x 100
rozpěra	C24	140 x 180
středové vzpěry	C24	380 x 220
táhlo Protah P48	ocel S355	∅ 48 mm
štíťové sloupky	C24	160 x 300
<b>ztužidla</b>		
táhlo Protah P20	ocel S355	∅ 20 mm

Tabulka 10: Přehled konstrukčních prvků

Název spoje	svorníky		plechy	
vzpěra - sloup	8 x M20, 5.8	konstrukční	P15 135x435mm	konstrukční
vzpěrky - horní pás	5 x M16, 5.8	nosné	/	
táhlo - horní pás	/		380x150x80 mm	nosná
vaznice - horní pás	spoj proveden trámovou botkou			
vazník - sloup	4 x M20, 5.8	konstrukční	/	

Tabulka 11: Přehled spojů



## 7. Zdroje

### 7.1. Normy

[1] ČSN EN 1991-1-1 Eurokód 1: Zatížení konstrukcí - Část 1-1: Obecná zatížení - Objemové tíhy, vlastní tíha a užitná zatížení pozemních staveb. Praha: Český normalizační institut, 2004, 44 s.

[2] ČSN EN 1991-1-3 Eurokód 1: Zatížení konstrukcí - Část 1-3: Obecná zatížení - Zatížení sněhem. Praha: Český normalizační institut, 2013, 52 s.

[3] ČSN EN 1991-1-4 Eurokód 1: Zatížení konstrukcí - Část 1-4: Obecná zatížení - Zatížení větrem. Praha: Český normalizační institut, 2013, 124 s. [2] ČSN EN 1990 Eurokód: Zásady navrhování konstrukcí. Praha: Český normalizační institut, 2004, 76 s.

[4] ČSN EN 1993-1-8 Eurokód 3: Navrhování ocelových konstrukcí - Část 1-8: Navrhování styčníků. Praha: Český normalizační institut, 2006, 128 s.

[5] ČSN EN 1995-1-1 Eurokód 5: Navrhování dřevěných konstrukcí - Část 1-1: Obecná pravidla - Společná pravidla a pravidla pro pozemní stavby. Praha: Český normalizační institut, 2006, 114 s.

[6] ČSN EN 14080 Dřevěné konstrukce - Lepené lamelové dřevo a lepené rostlé dřevo - Požadavky. Praha: Český normalizační institut, 2013, 88 s.

### 7.2. Literatura

[7] PORTEOUS, Jack a Abdy KERMANI. *Structural timber design to Eurocode 5*. Malden, MA: Blackwell Pub., 2007. ISBN 978-14051-4638-8.

[8] KUKLÍK, Petr, Anna KUKLÍKOVÁ a Karel MIKEŠ. *Dřevěné konstrukce 1: cvičení*. V Praze: České vysoké učení technické, 2008. ISBN 978-80-01-03980-9.

[9] MIKEŠ, Karel. *Stabilita prutových soustav: akademická přednáška* [online]. Praha, 2019.

### 7.3. Katalogové listy

[10] *Cfix systems: systém táhel Protah* [online]. Praha. Dostupné z: <https://cfix.cz/system-tahel-protah/>

[11] *Simpson Strong-Tie: trámová botka GSE* [online]. Pleasanton, CA, 2019. Dostupné také z: <https://www.strongtie.cz/products/detail/tramova-botka-gse/44#tab-plans>



[12] *Isover: Saint - gobain* [online]. Praha, 2019. Dostupné z: [https://www.isover.cz/dokumenty/list?sorting\\_documentation=Popularity](https://www.isover.cz/dokumenty/list?sorting_documentation=Popularity)

[13] *Fermacell* [online]. Praha, 2019. Dostupné také z: <https://www.fermacell.cz/cz/ke-stazeni>

#### 7.4. Použitý software

MS Word 2016 – studentská licence Office 360

MS Excel 2016 – studentská licence Office 360

SCIA Engineer 18.0.0 – studentská licence

AutoCAD 2016 – studentská licence